

FIG. 1A

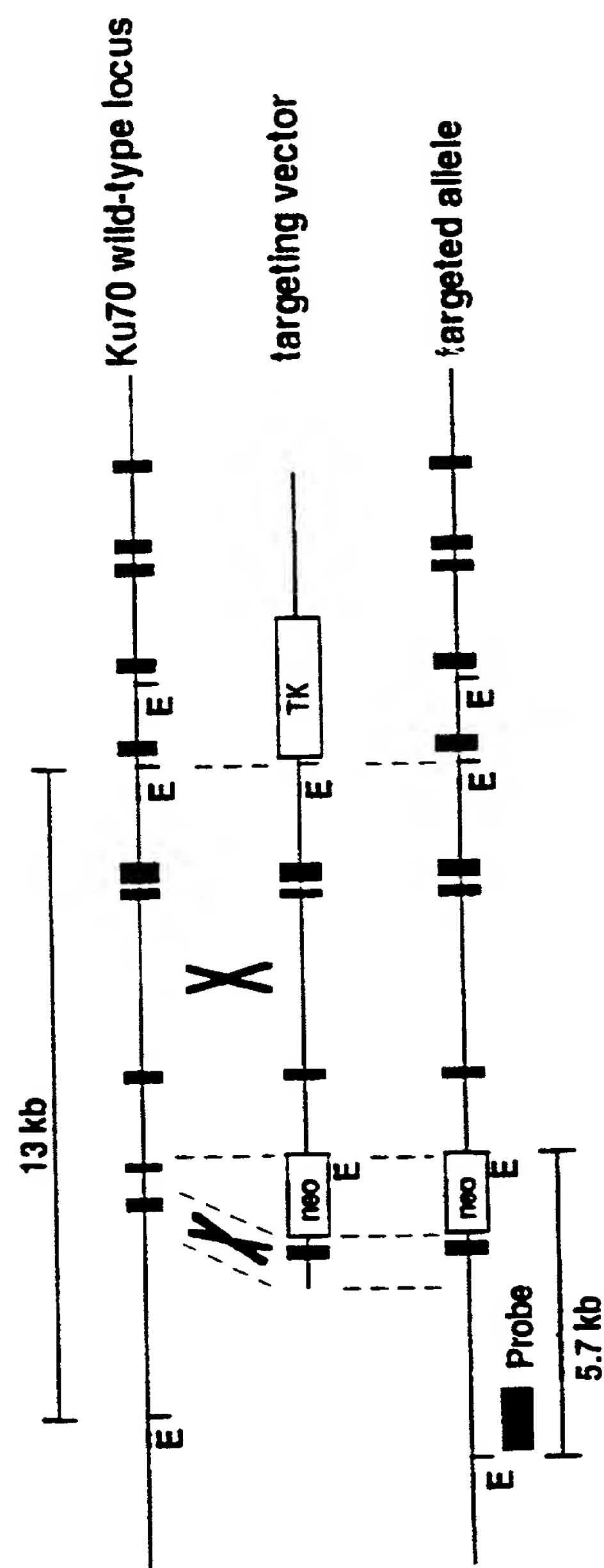


FIG. 1B

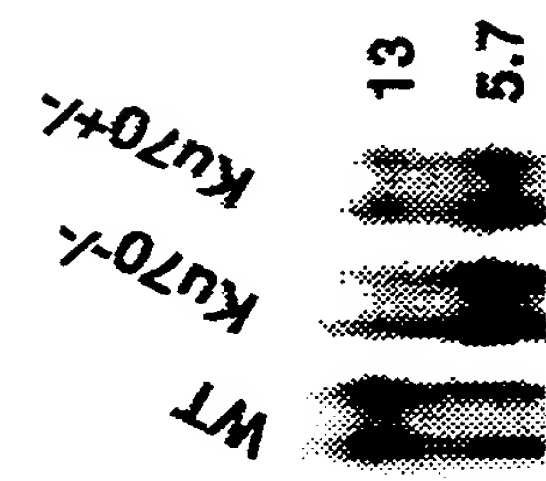


FIG. 1C

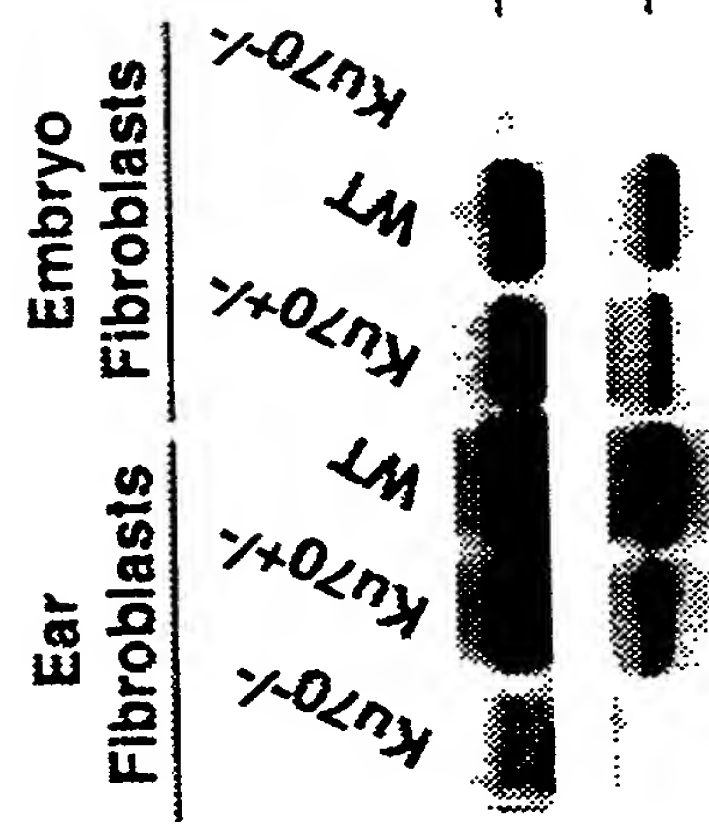
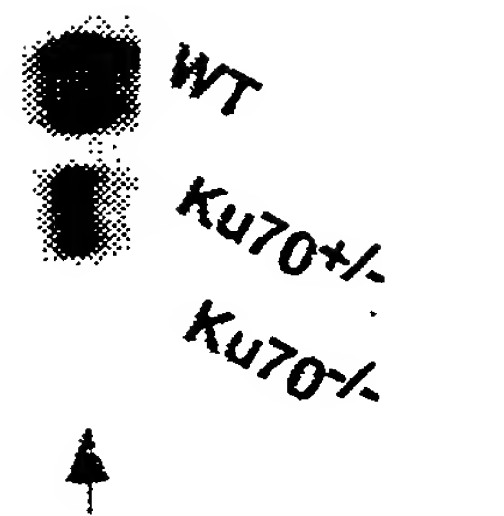


FIG. 1D



2/31

FIG. 2A-1
Thy

wild type
(HE)

FIG. 2A-2
Spl

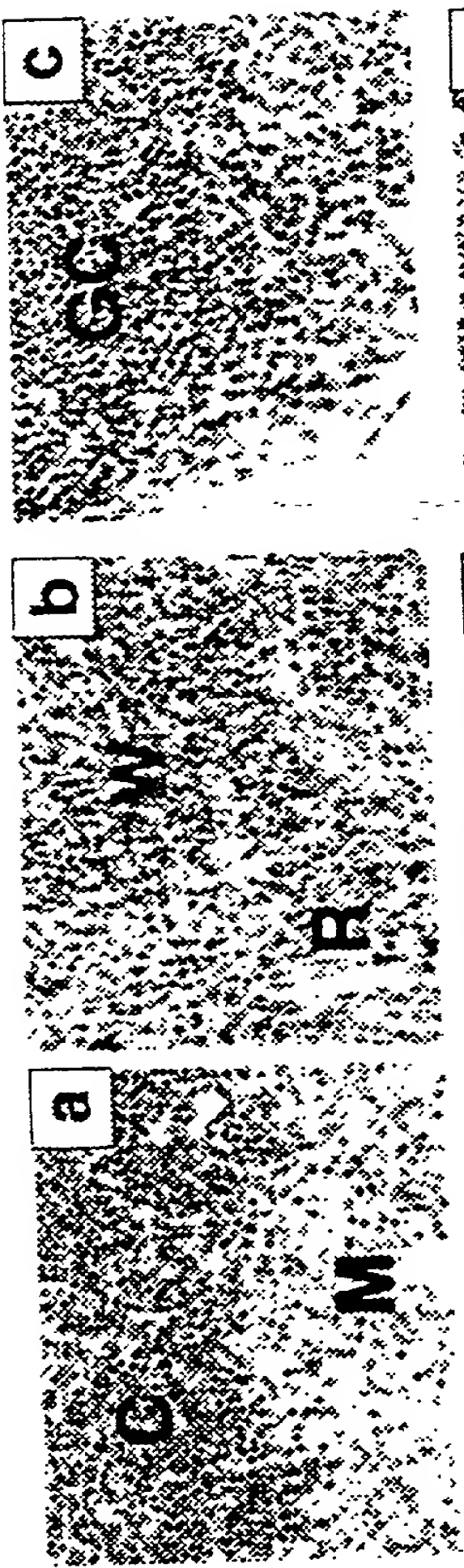


FIG. 2A-3
LN

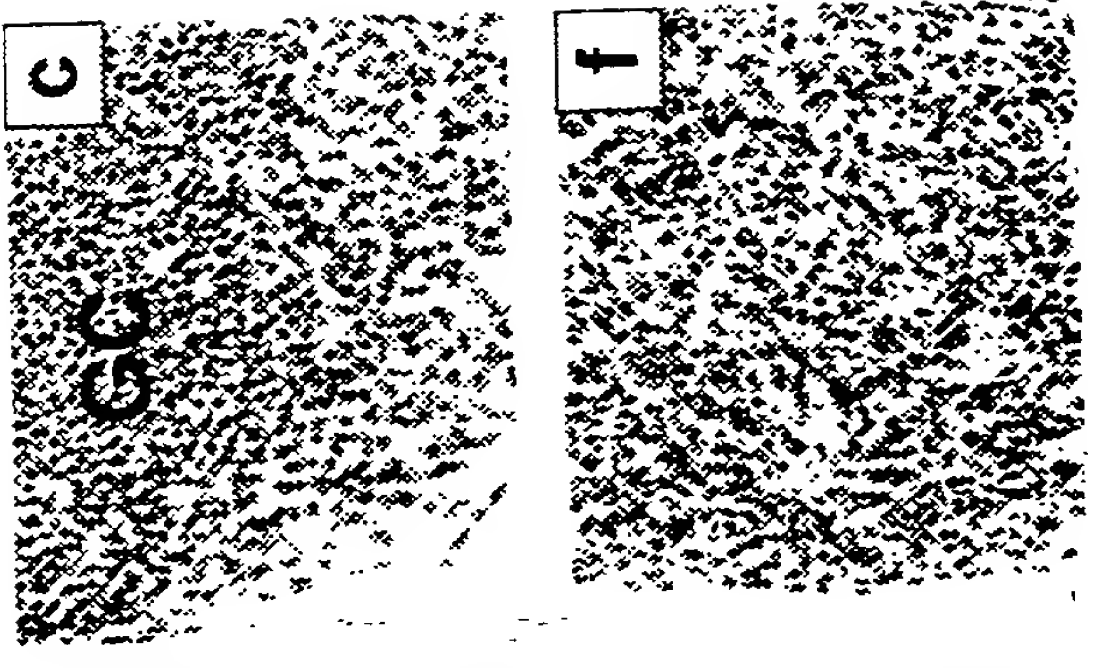


FIG. 2A-4
Ku80^{-/-}
(HE)

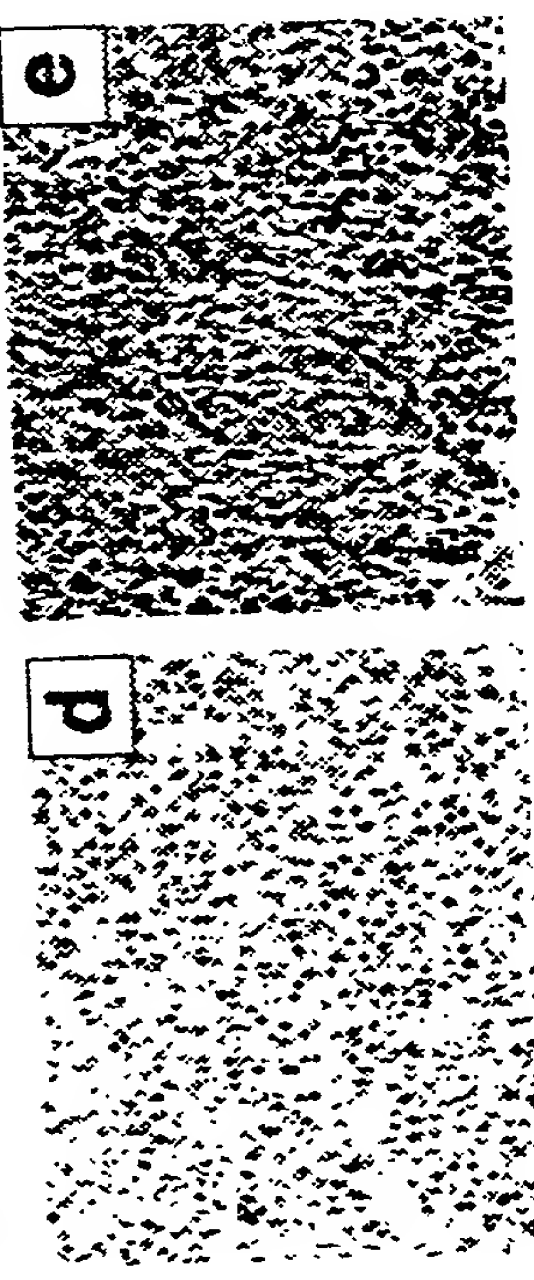


FIG. 2A-5

FIG. 2A-6

FIG. 2A-7

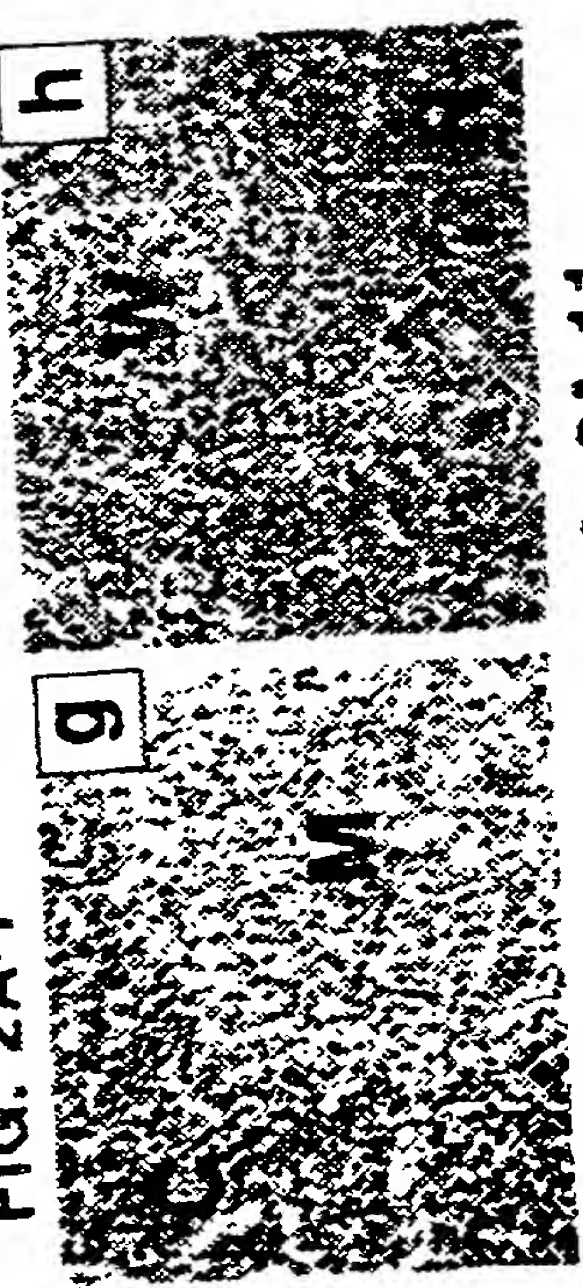


FIG. 2A-8

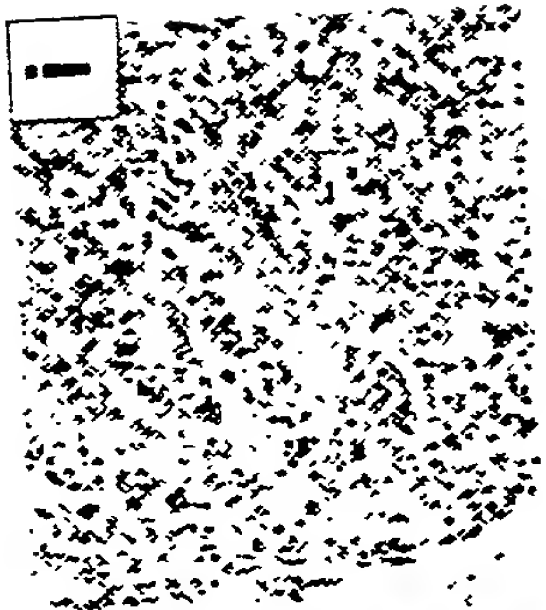
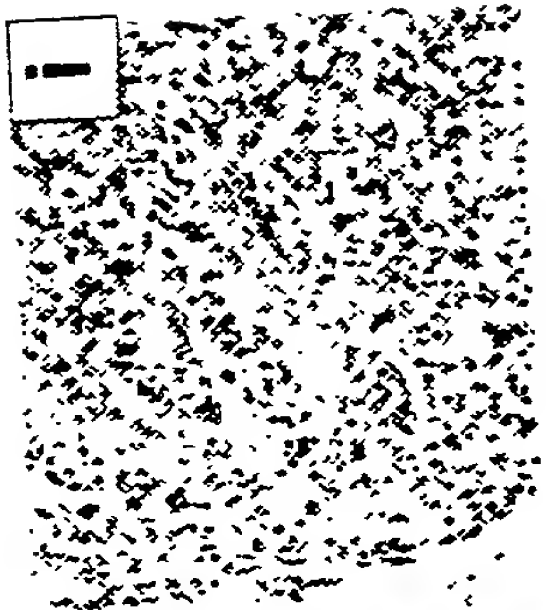


FIG. 2A-9



Ku70-/-
(I4E)

FIG. 2A-10

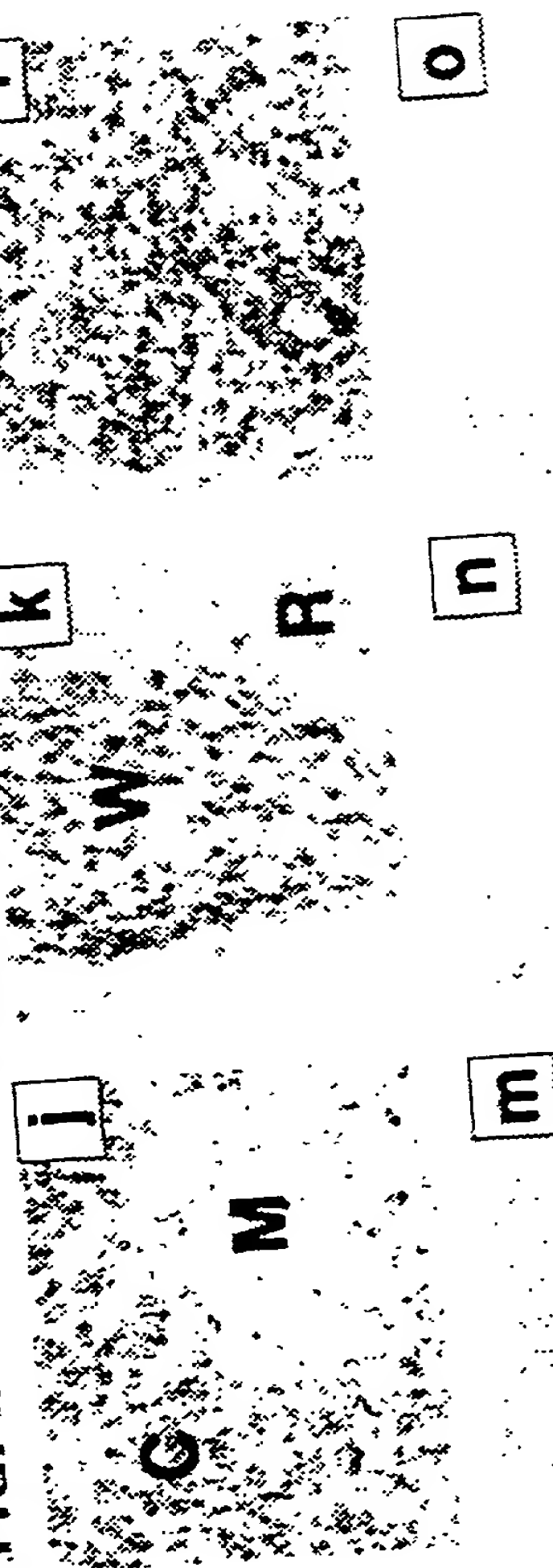
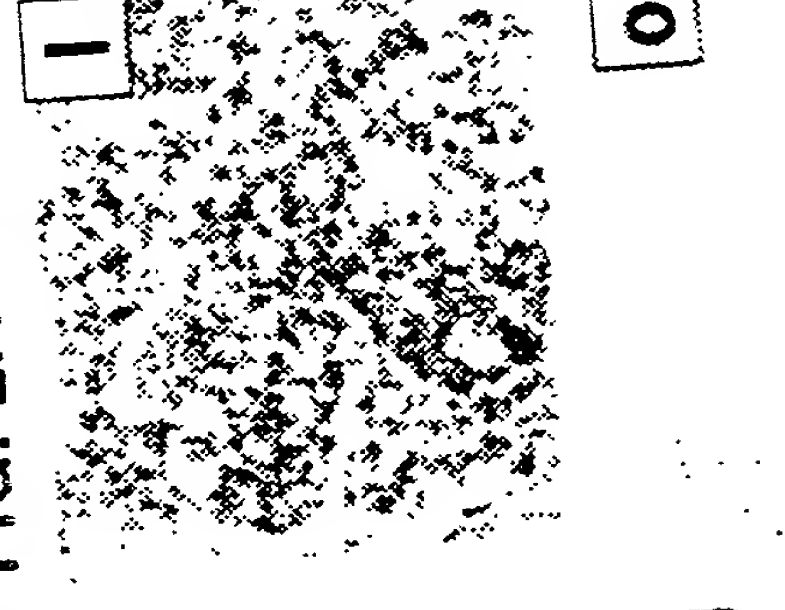
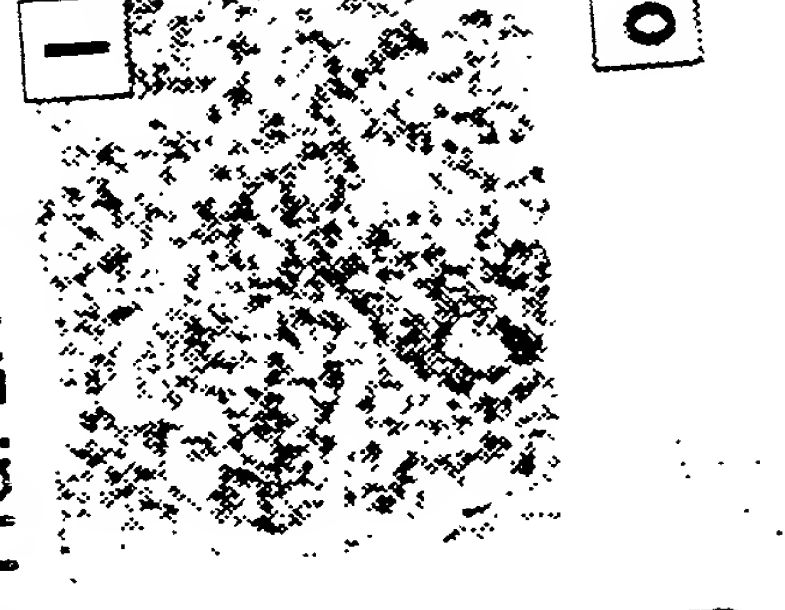
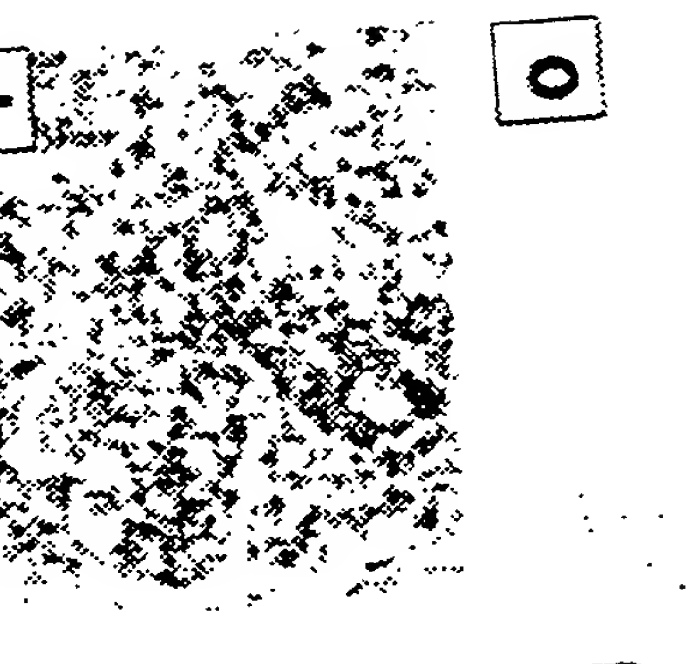


FIG. 2A-11



Ku70-/-
(CD3)

FIG. 2A-13

FIG. 2A-14

FIG. 2A-15

Ku70-/-
(CD19)

FIG. 2B-1

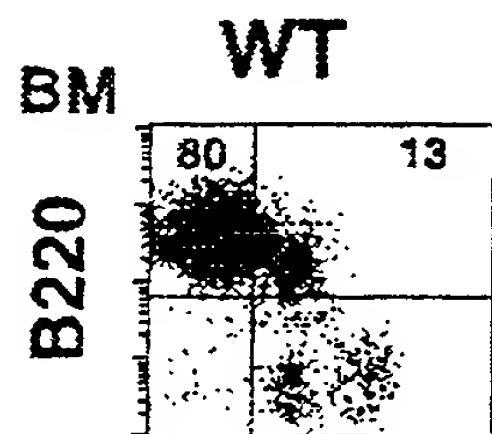


FIG. 2B-2

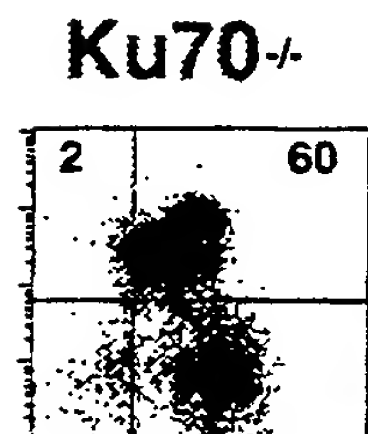


FIG. 2B-3

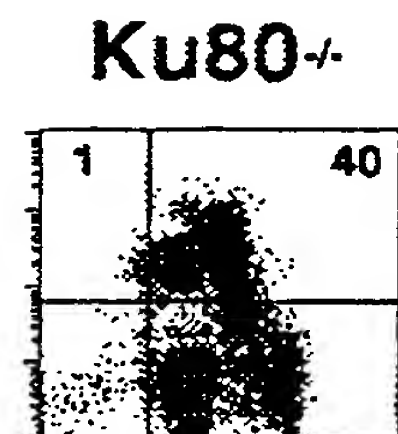
**CD43**

FIG. 2B-4

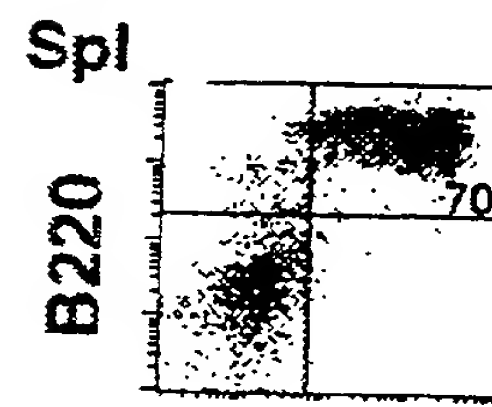


FIG. 2B-5

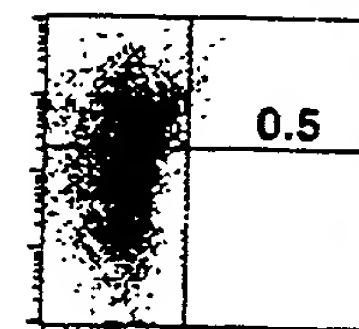


FIG. 2B-6



FIG. 2B-7

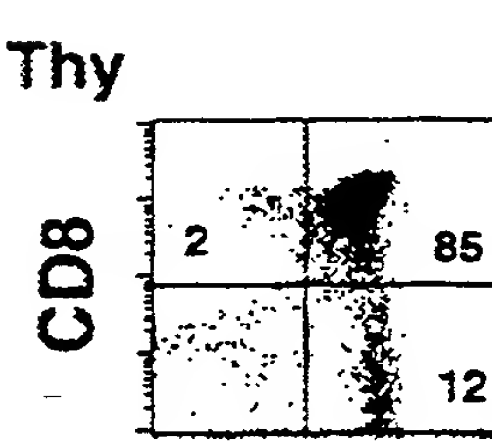


FIG. 2B-8

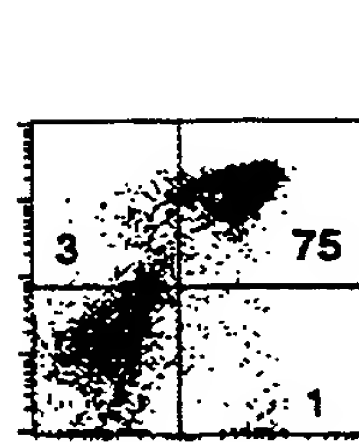


FIG. 2B-9

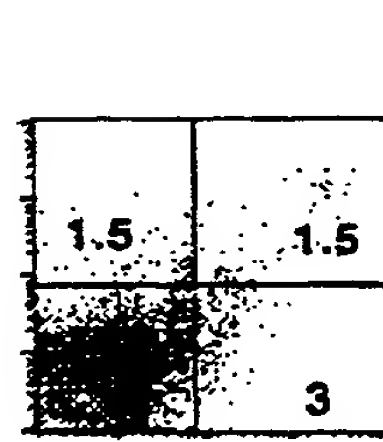


FIG. 2B-10

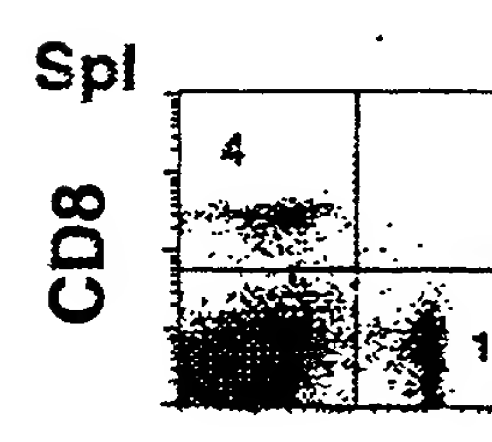


FIG. 2B-11

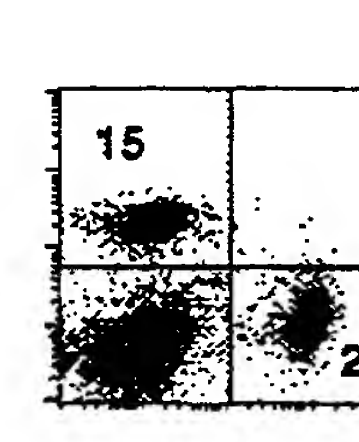
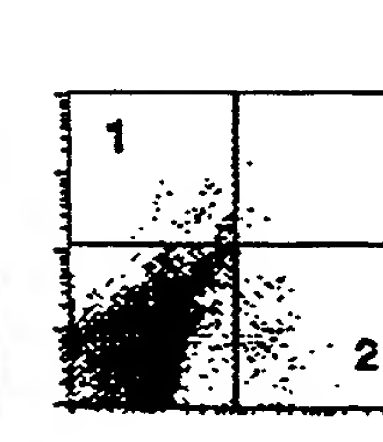


FIG. 2B-12



6/31

FIG. 2C-1

FIG. 2C-2

FIG. 2C-3

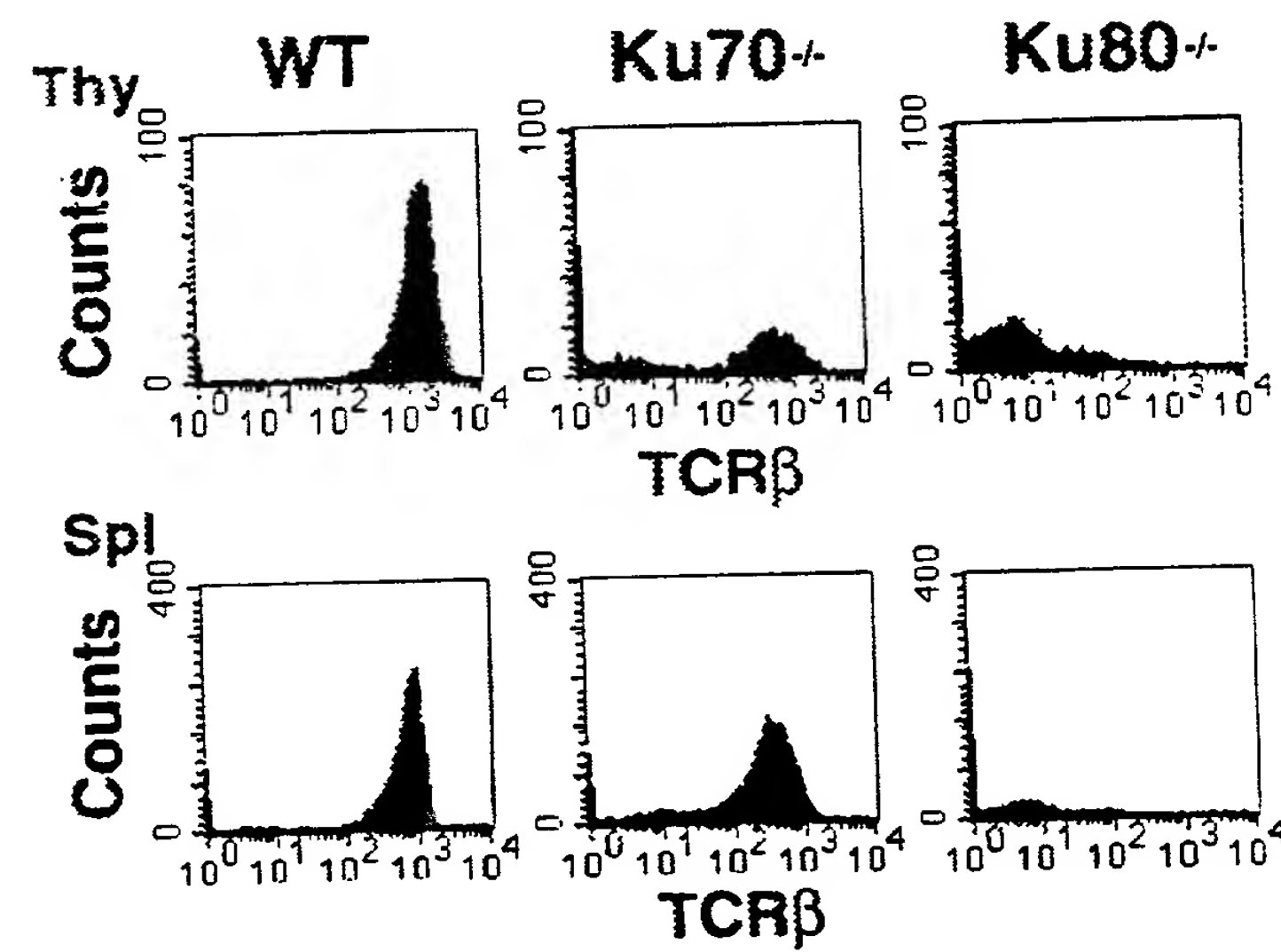


FIG. 2C-4

FIG. 2C-5

FIG. 2C-6

FIG. 3A

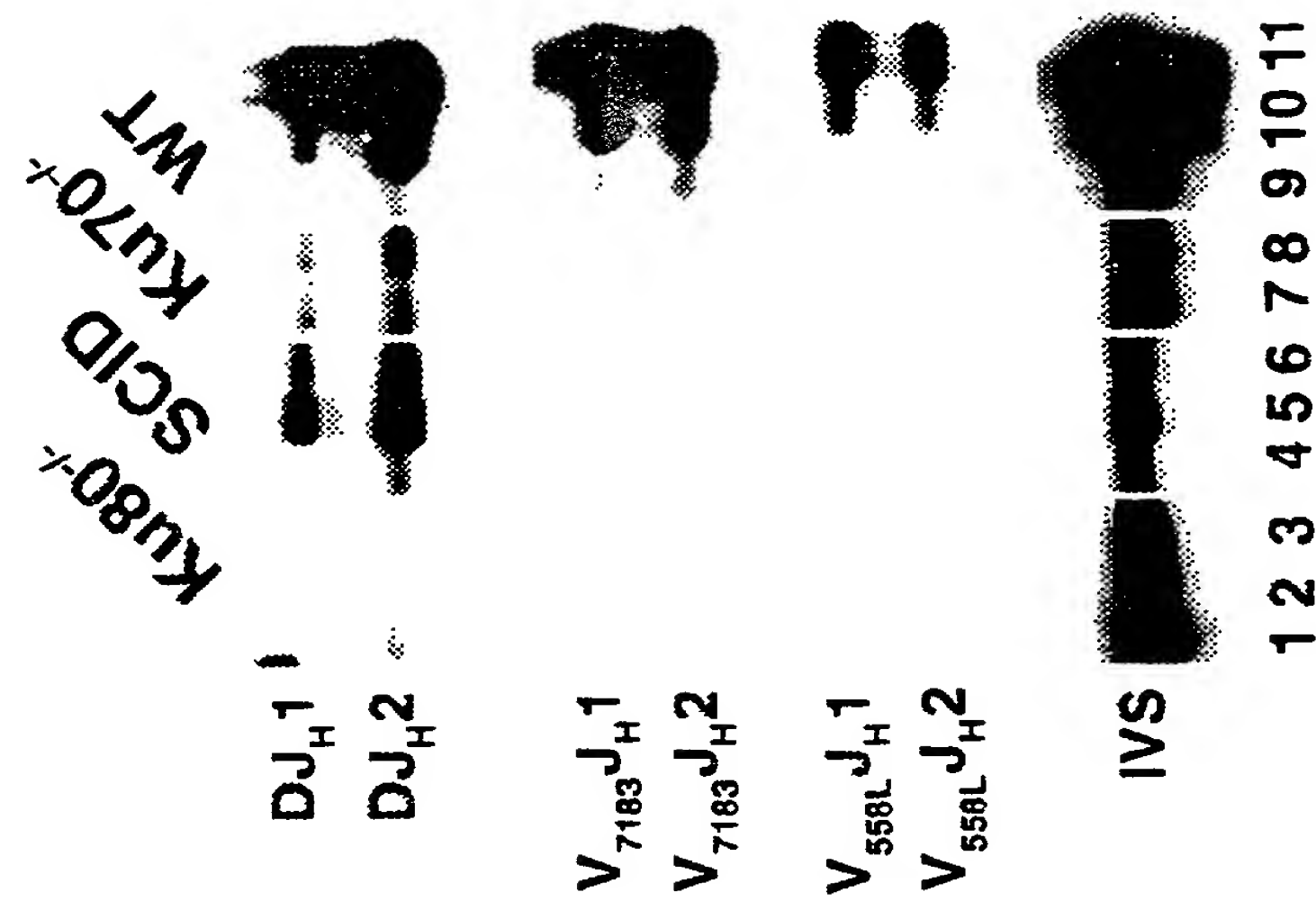
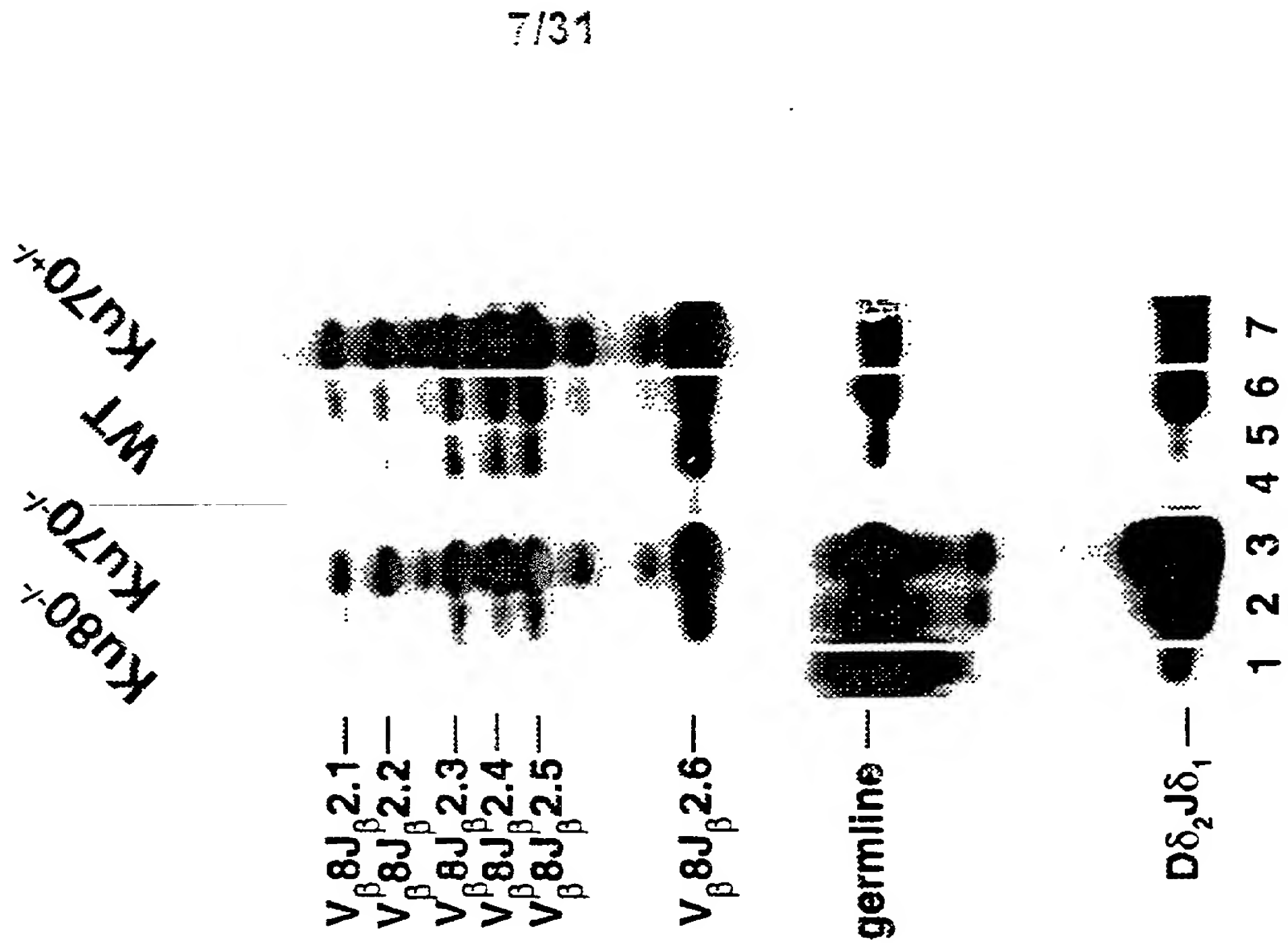


FIG. 3B



7/31

FIG. 4A

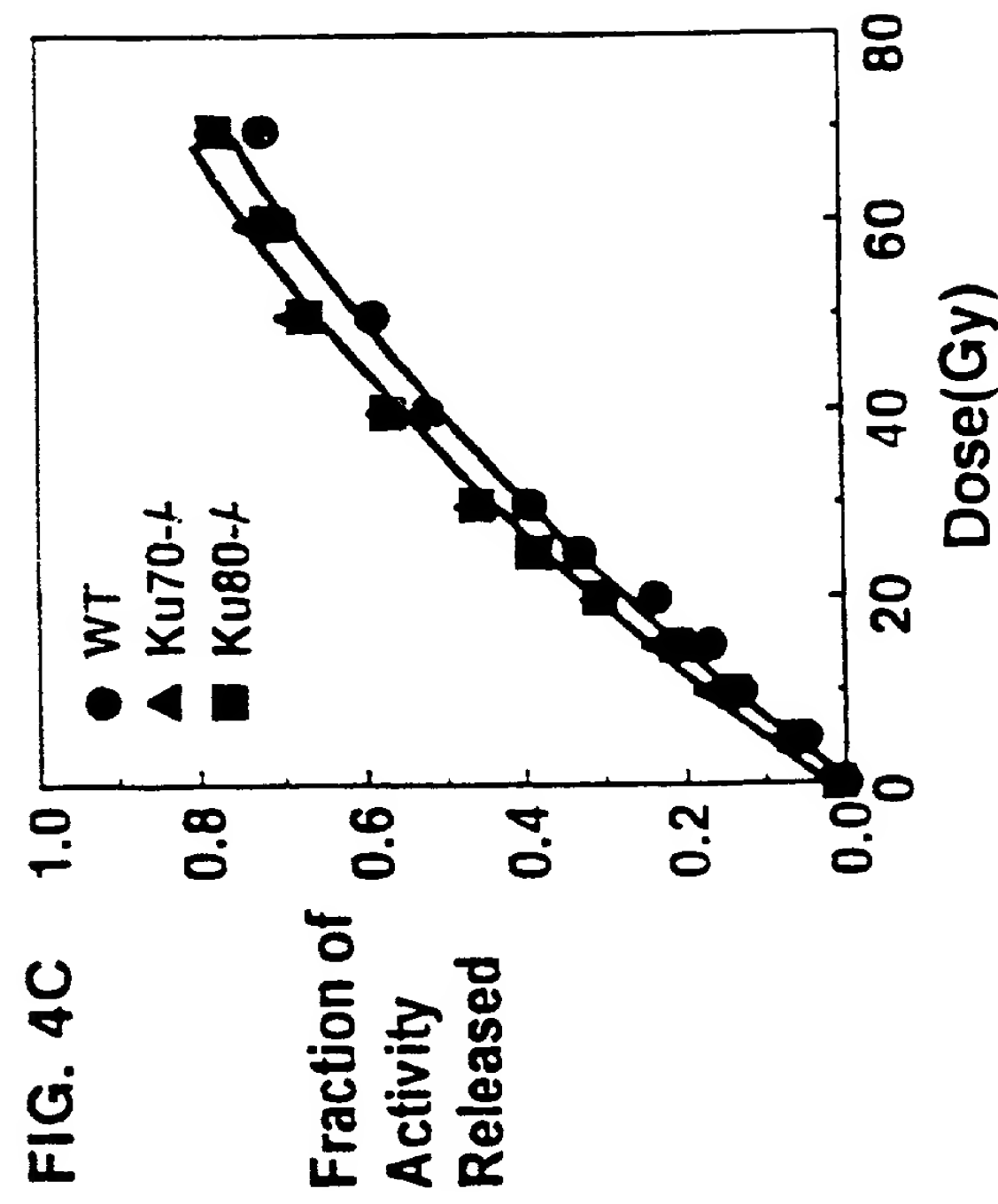
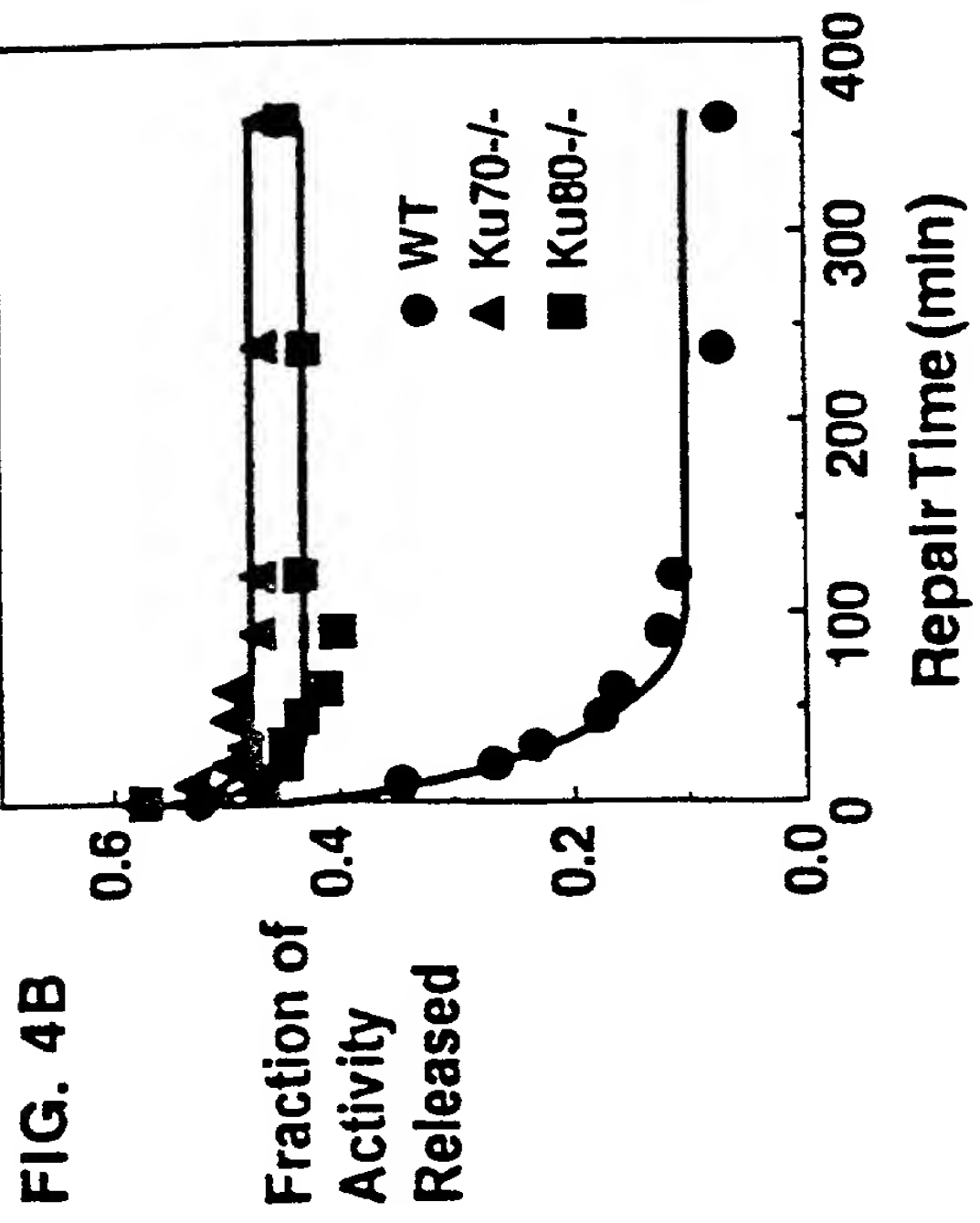
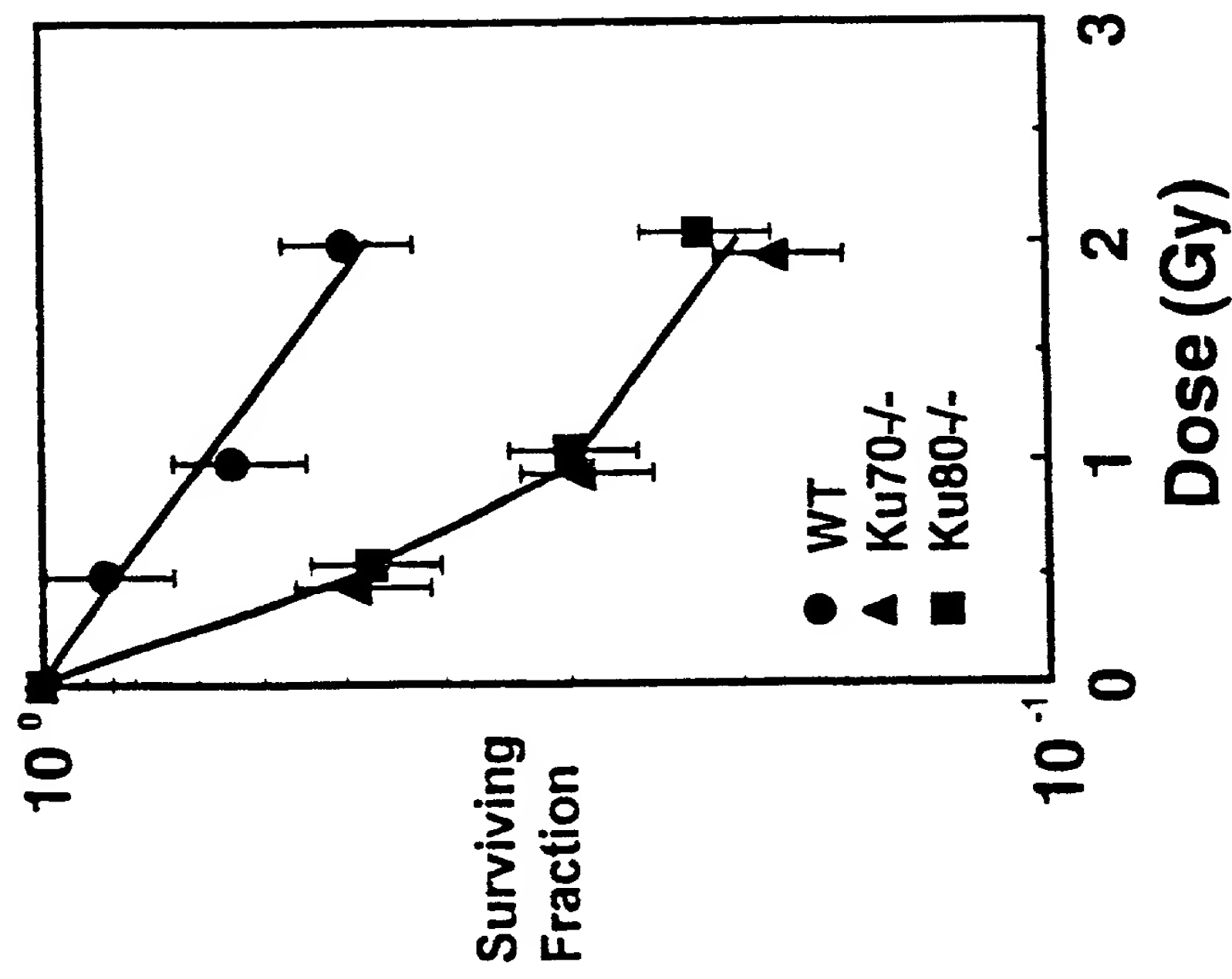
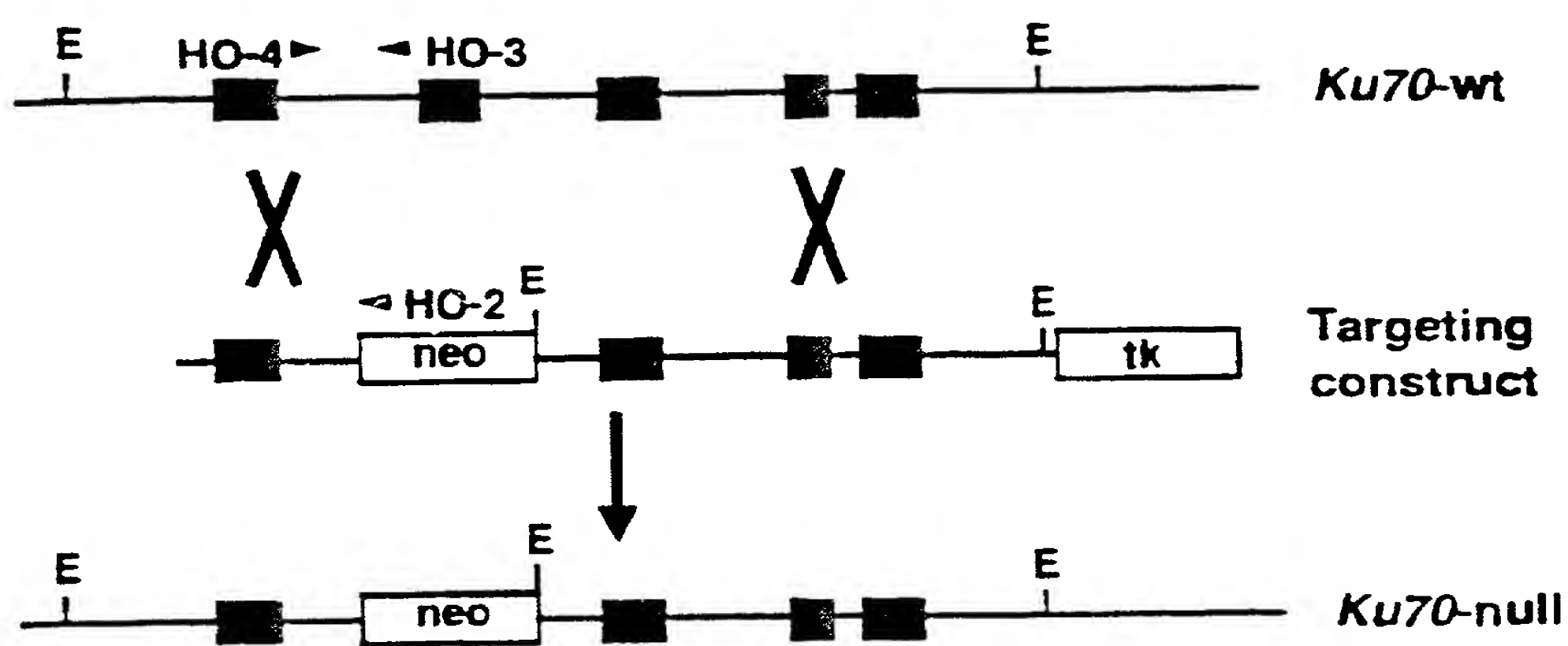
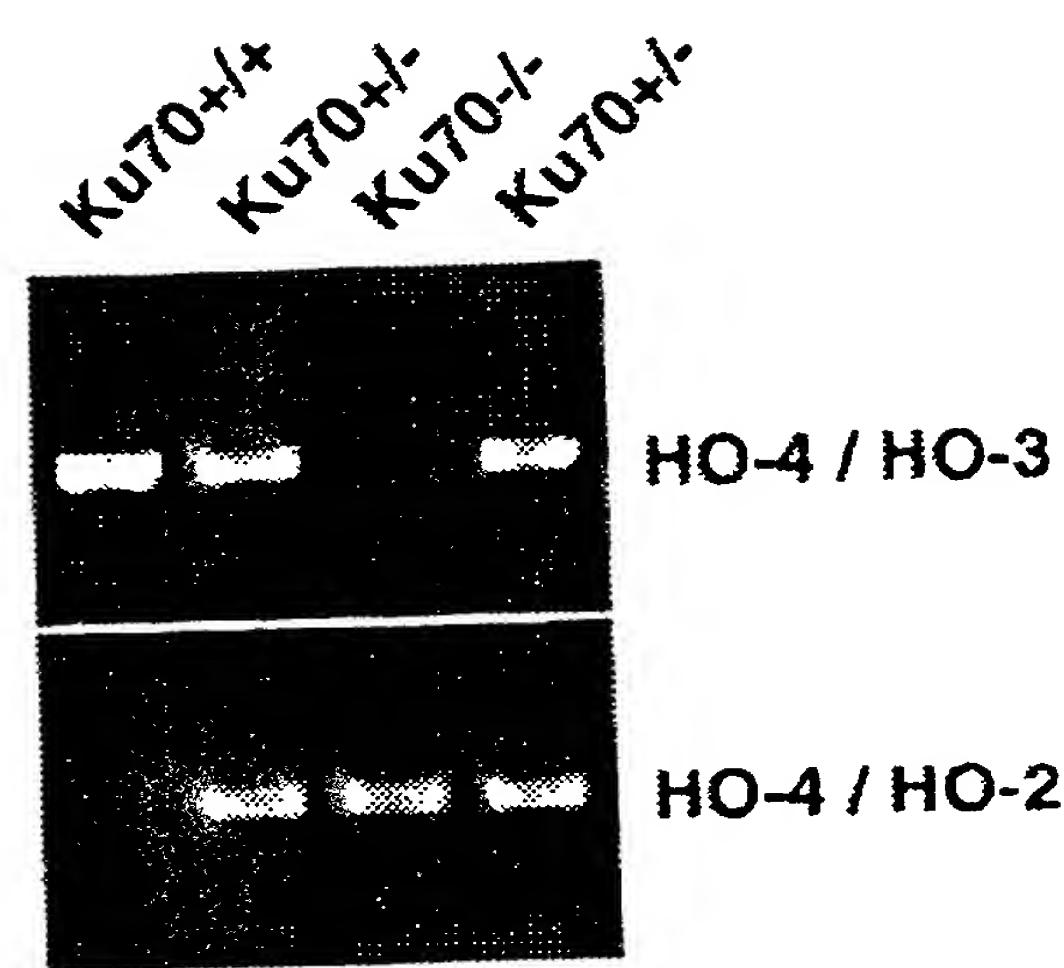


FIG. 5A



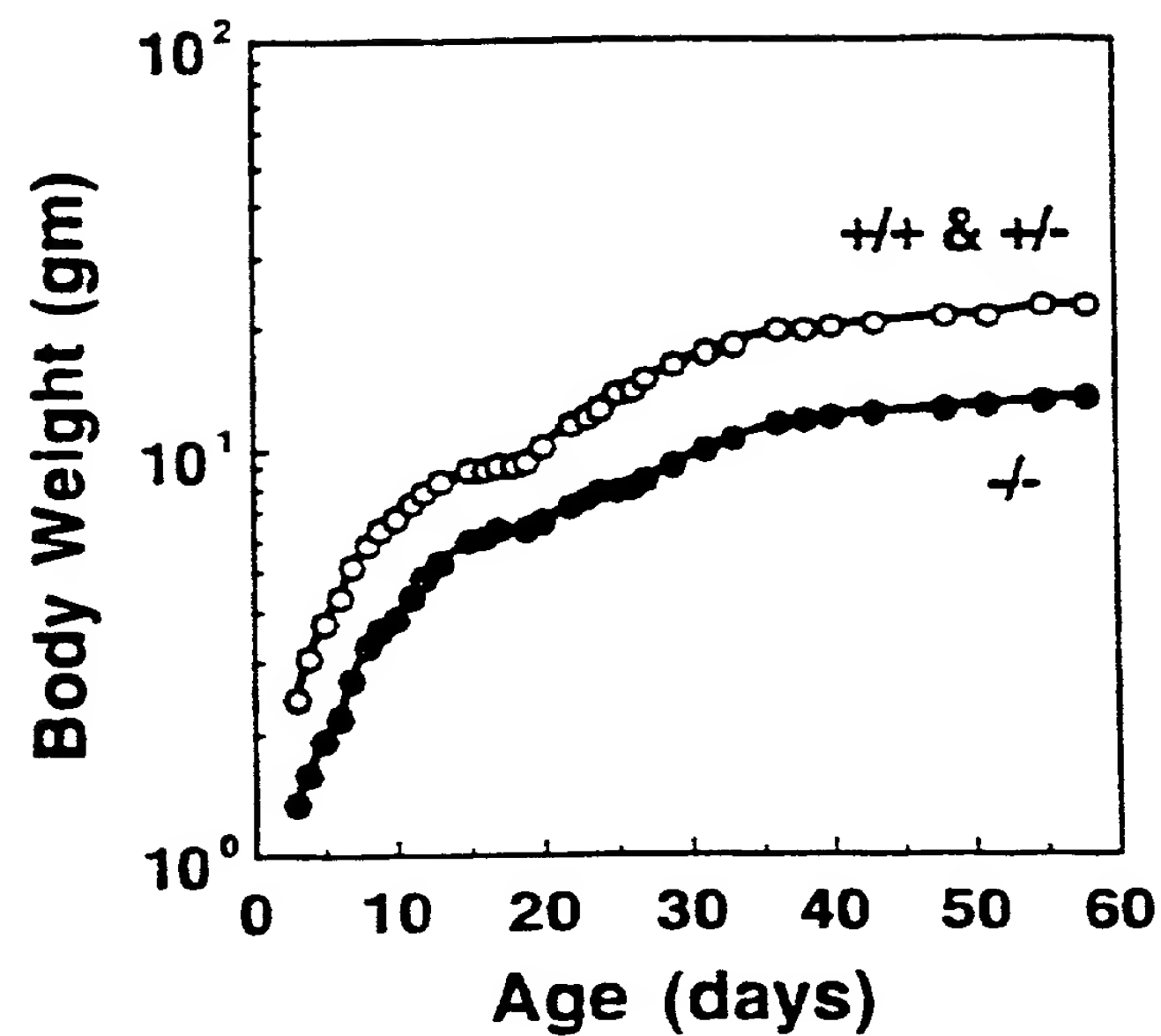
10/31

FIG. 5B



11/31

FIG. 5C



12/31

FIG. 5D



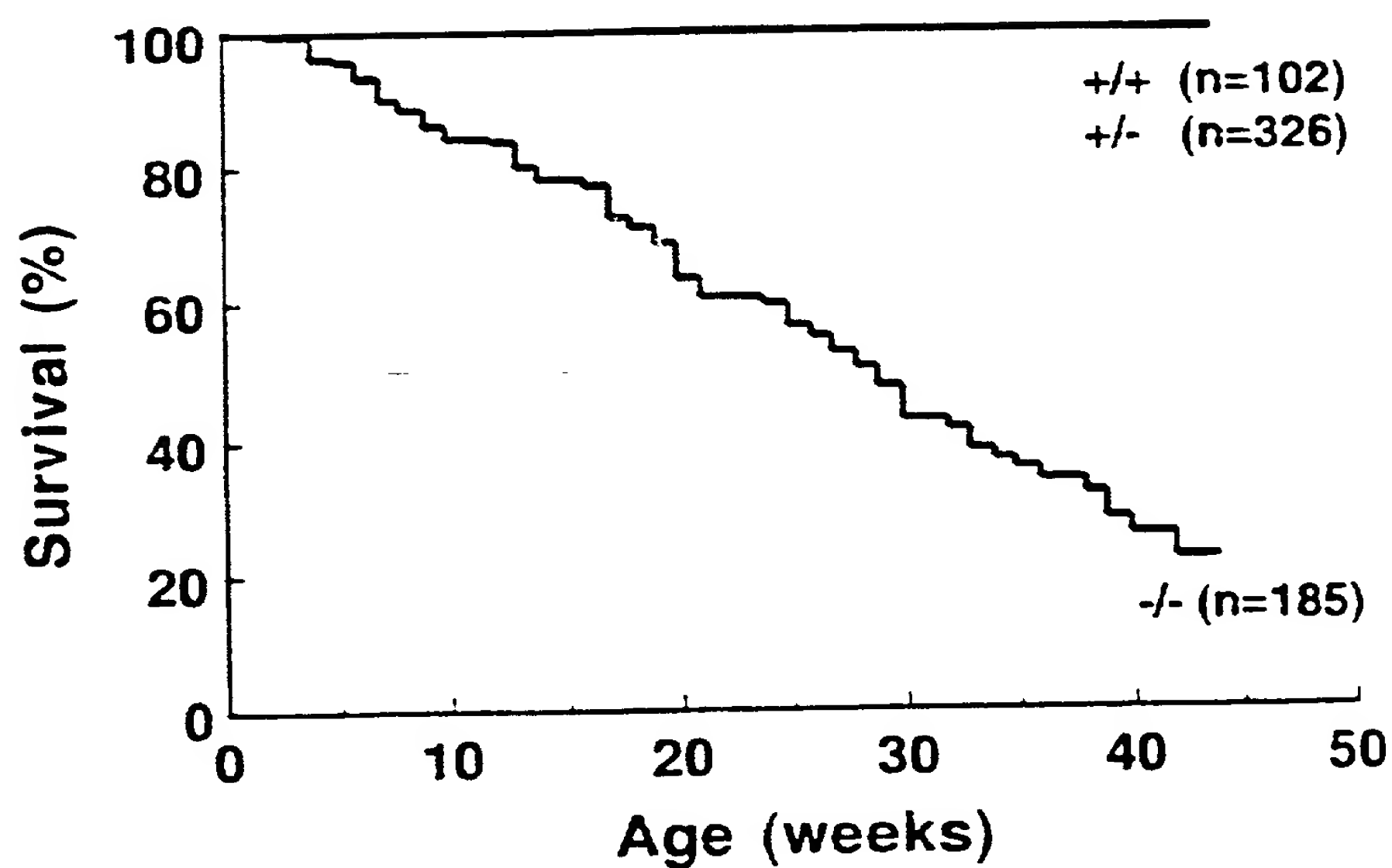
Ku70 +/+



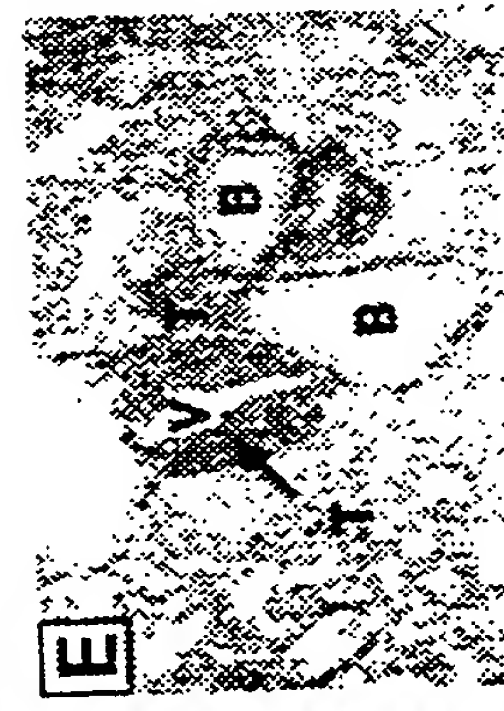
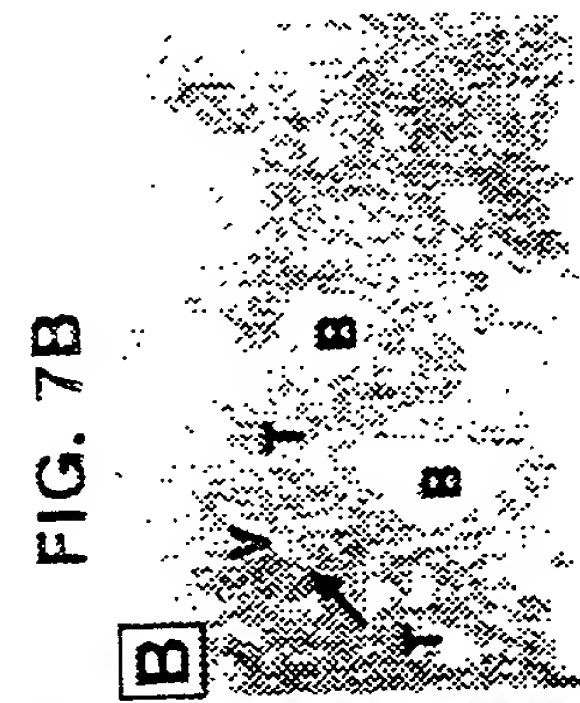
Ku70 -/-

13/31

FIG. 6

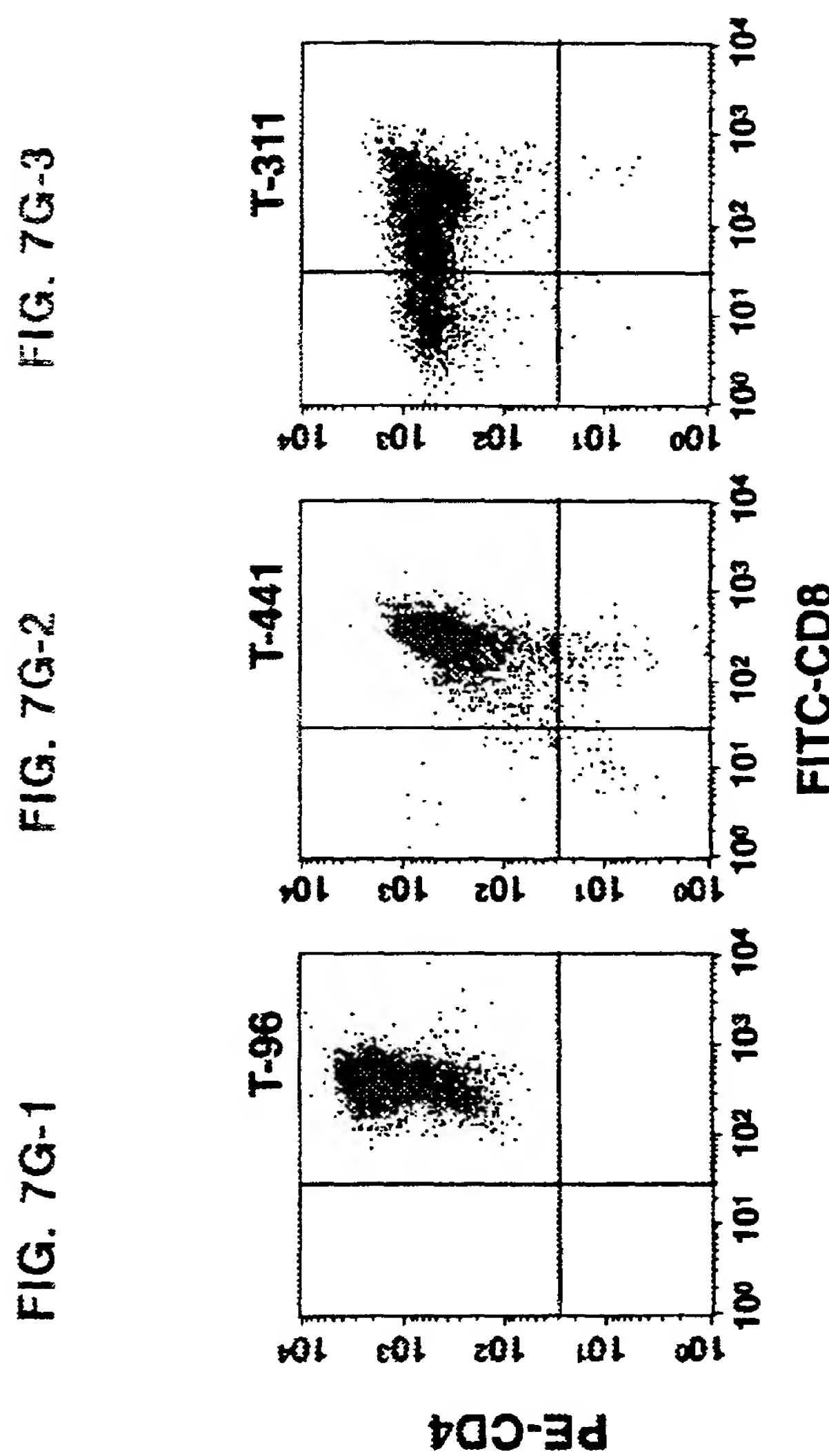


14/31



15/31

FIG. 7G-1 FIG. 7G-2 FIG. 7G-3



16/31

FIG. 8A

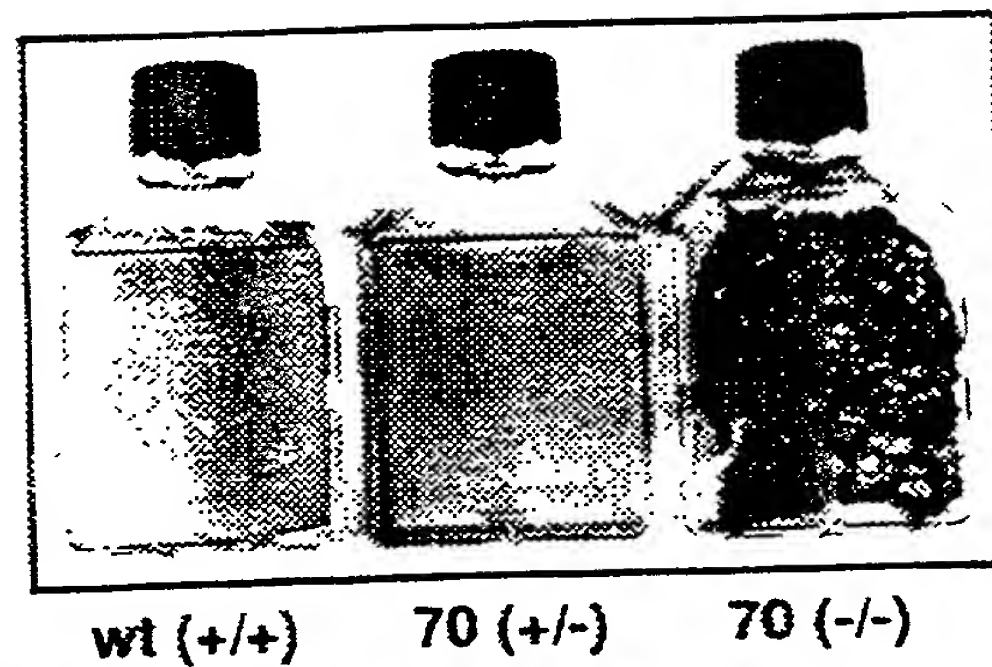


FIG. 8B

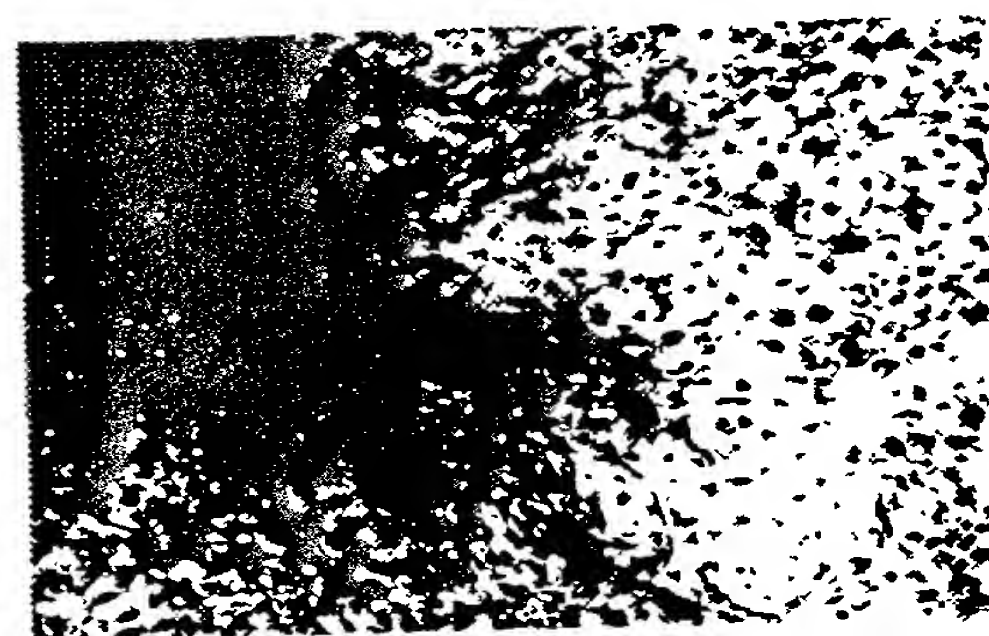


FIG. 8C

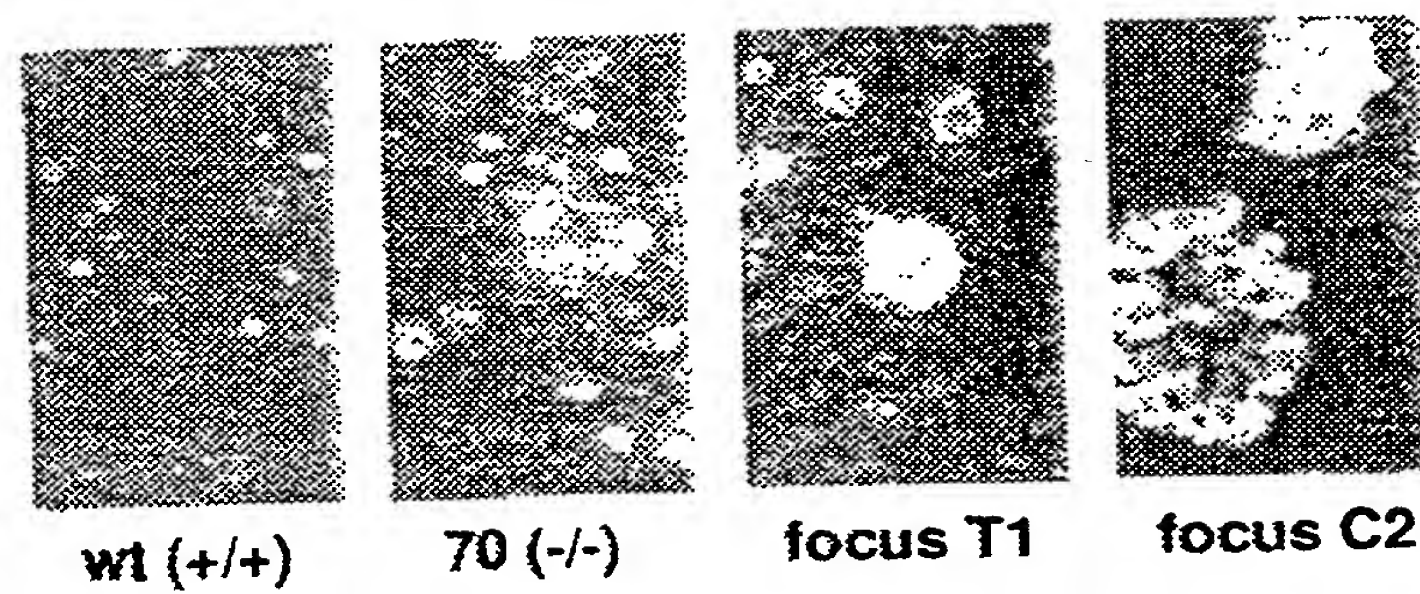


FIG. 9A

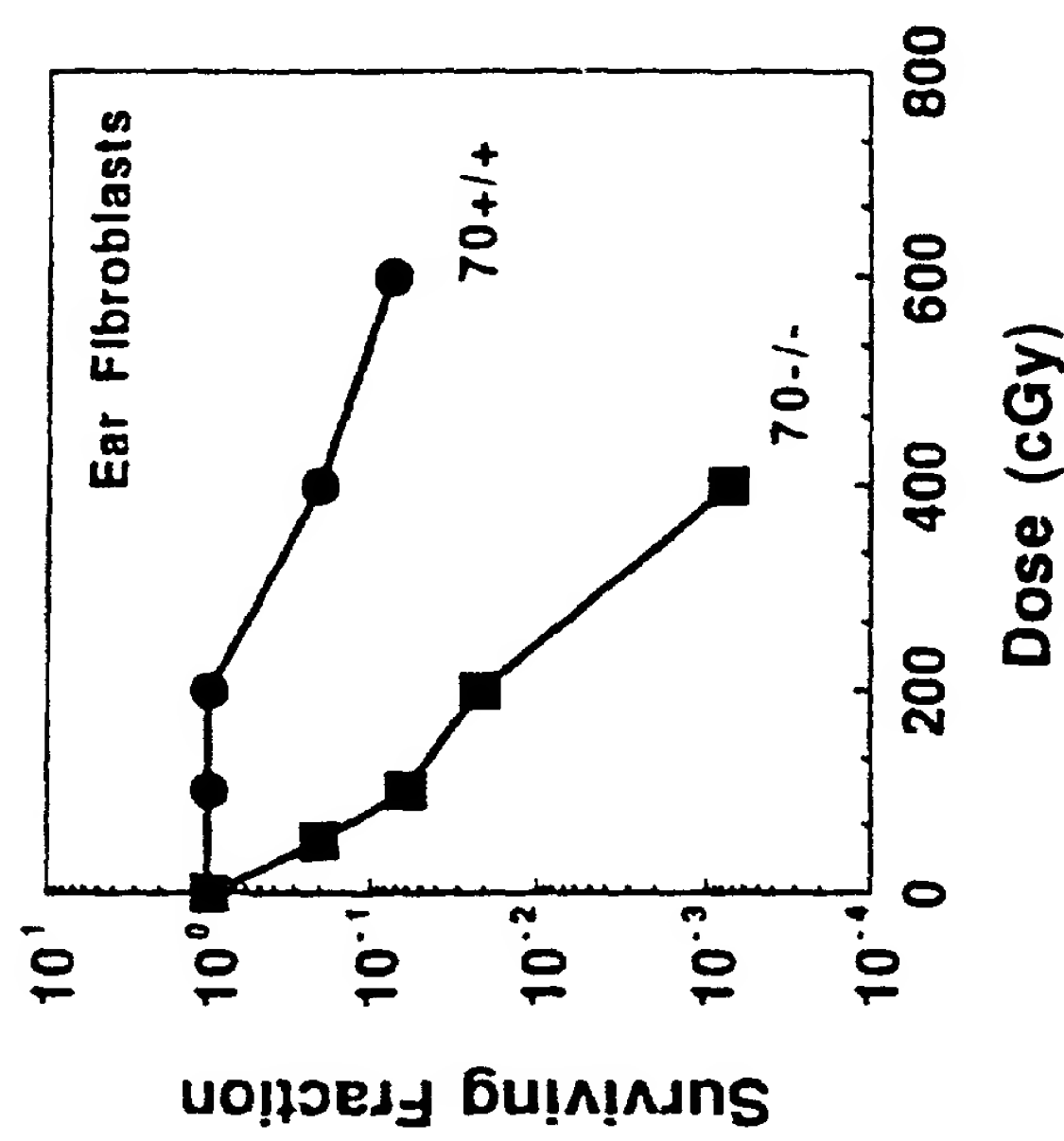
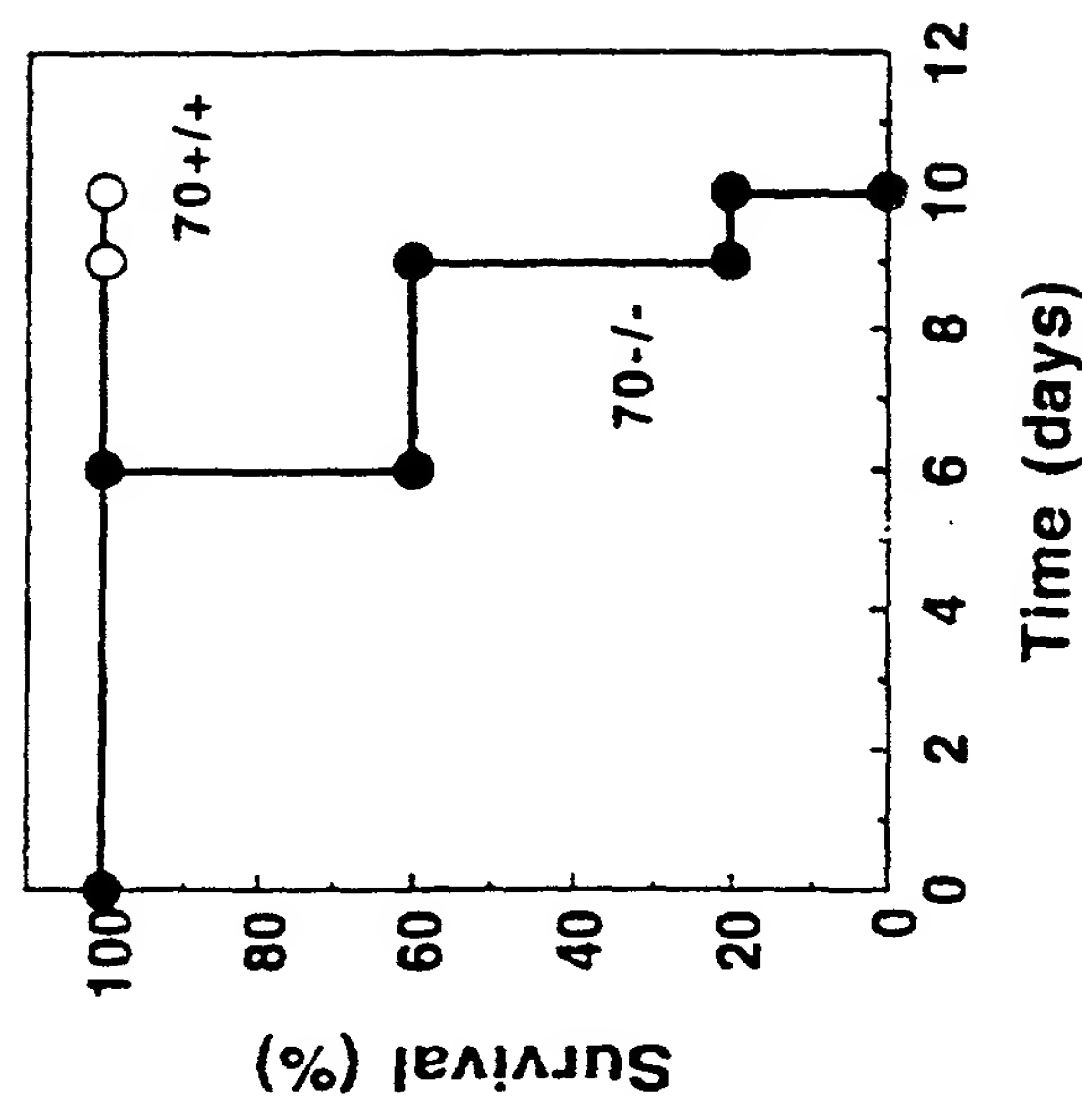


FIG. 9B



18/31

FIG. 10A



FIG. 10B



FIG. 10C

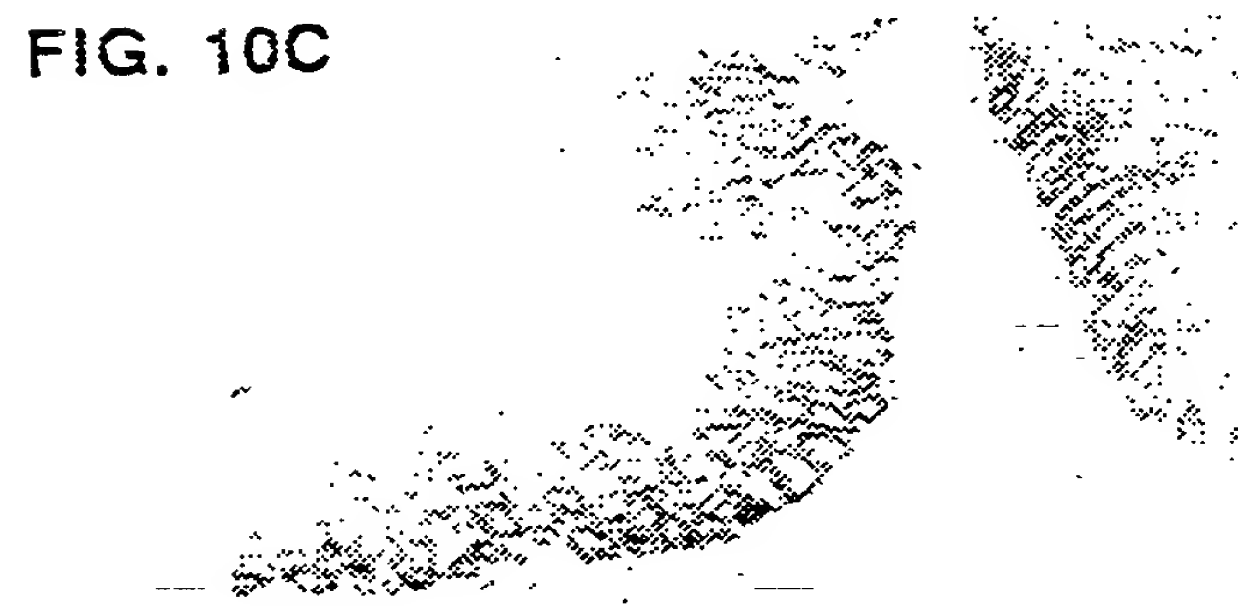


FIG. 11A

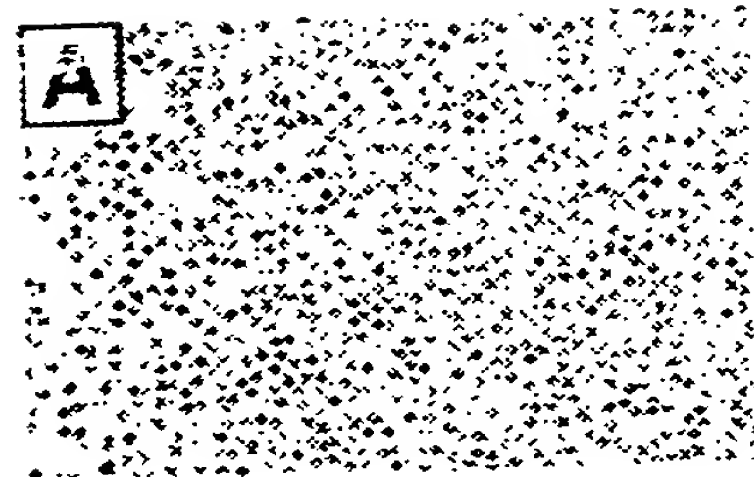


FIG. 11D

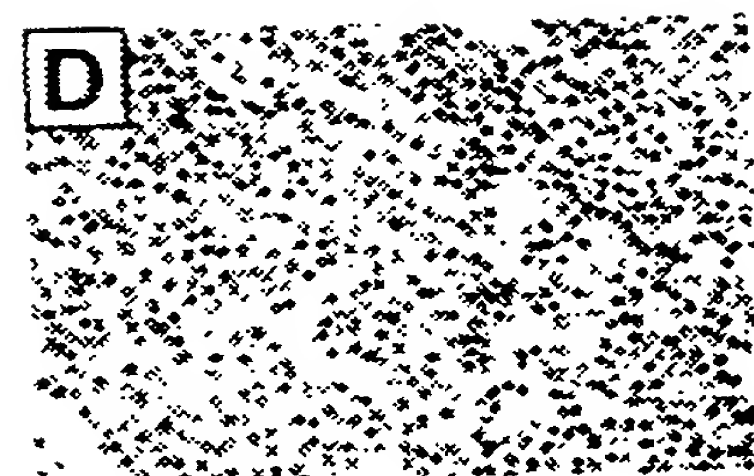


FIG. 11B

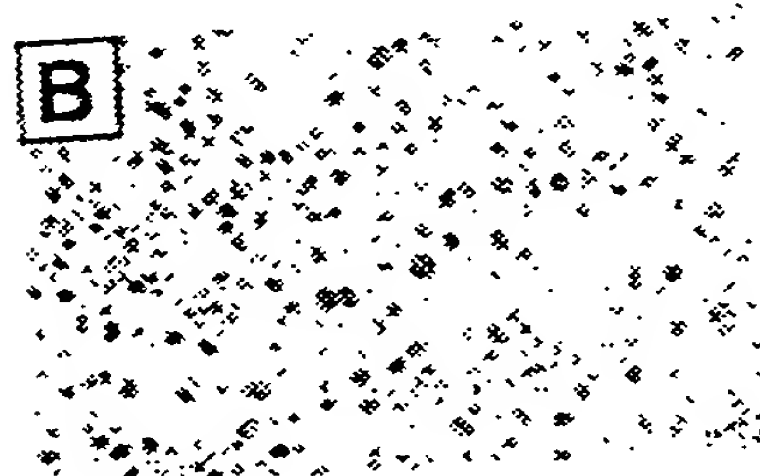


FIG. 11E

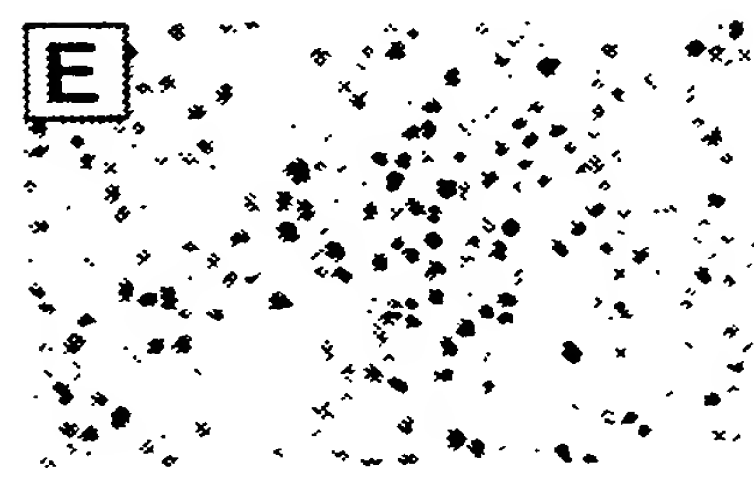


FIG. 11C

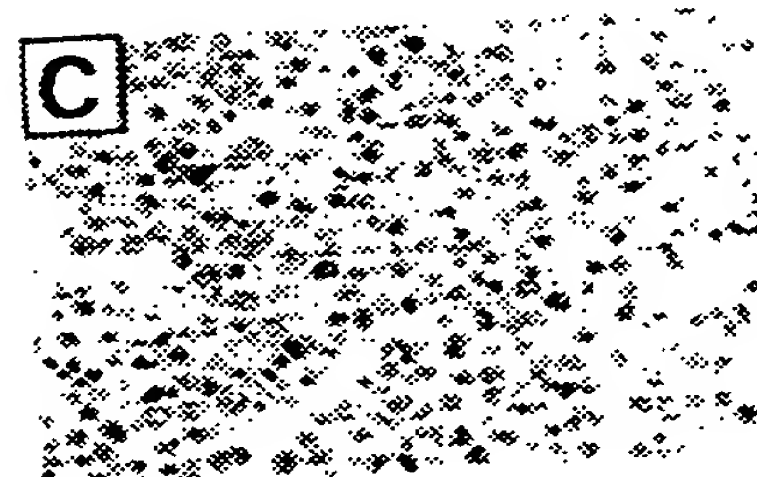


FIG. 11F

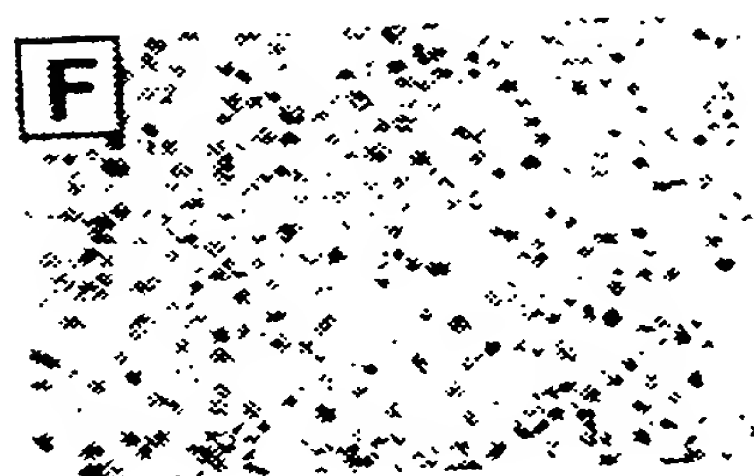


FIG. 11G



20/31

FIG. 11H-1

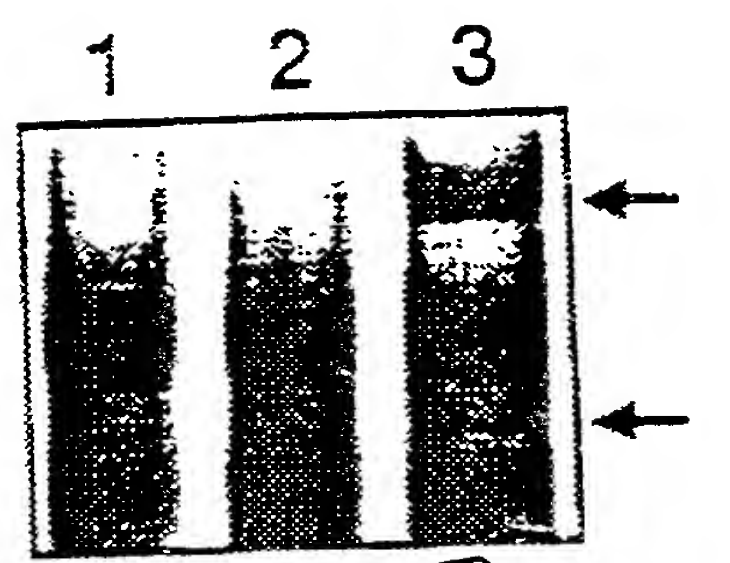
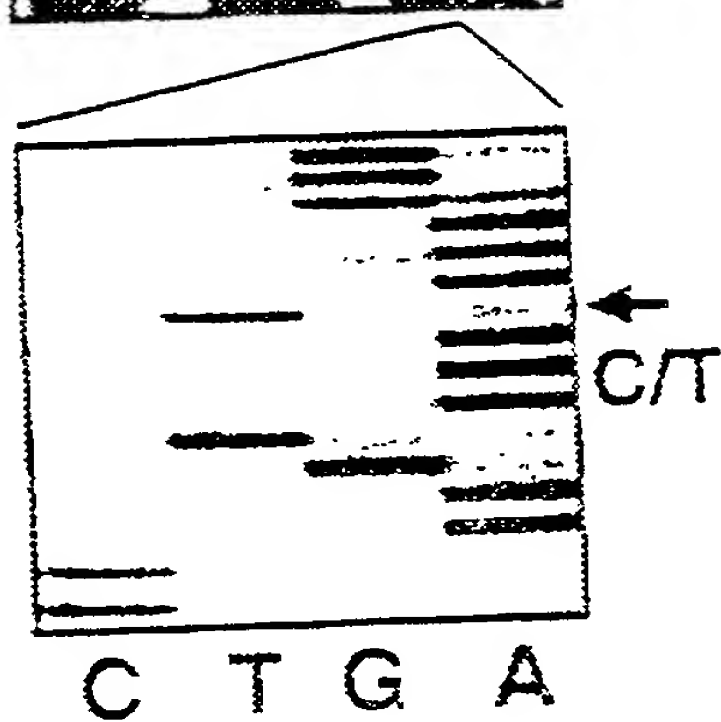


FIG. 11H-2



21/31

FIG. 111
FIG. 111

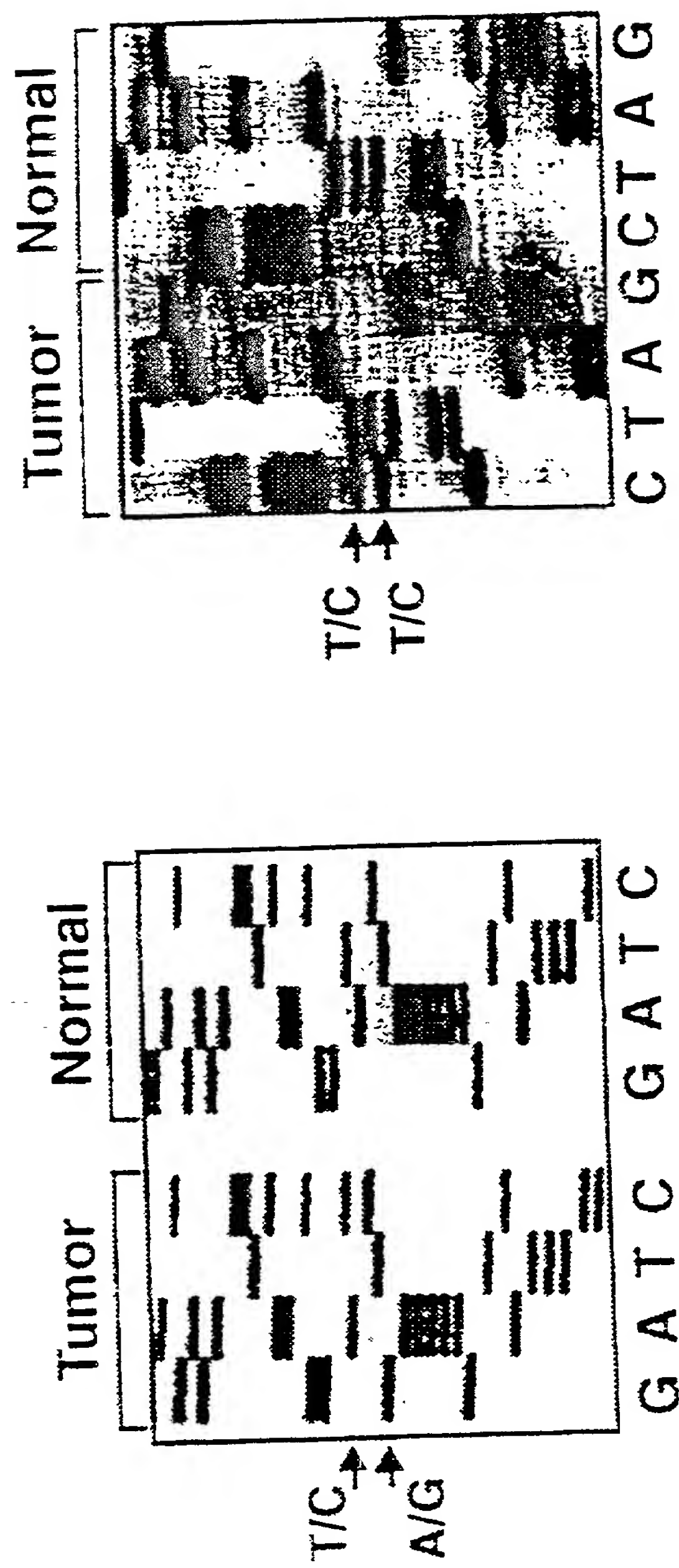


FIG. 12A

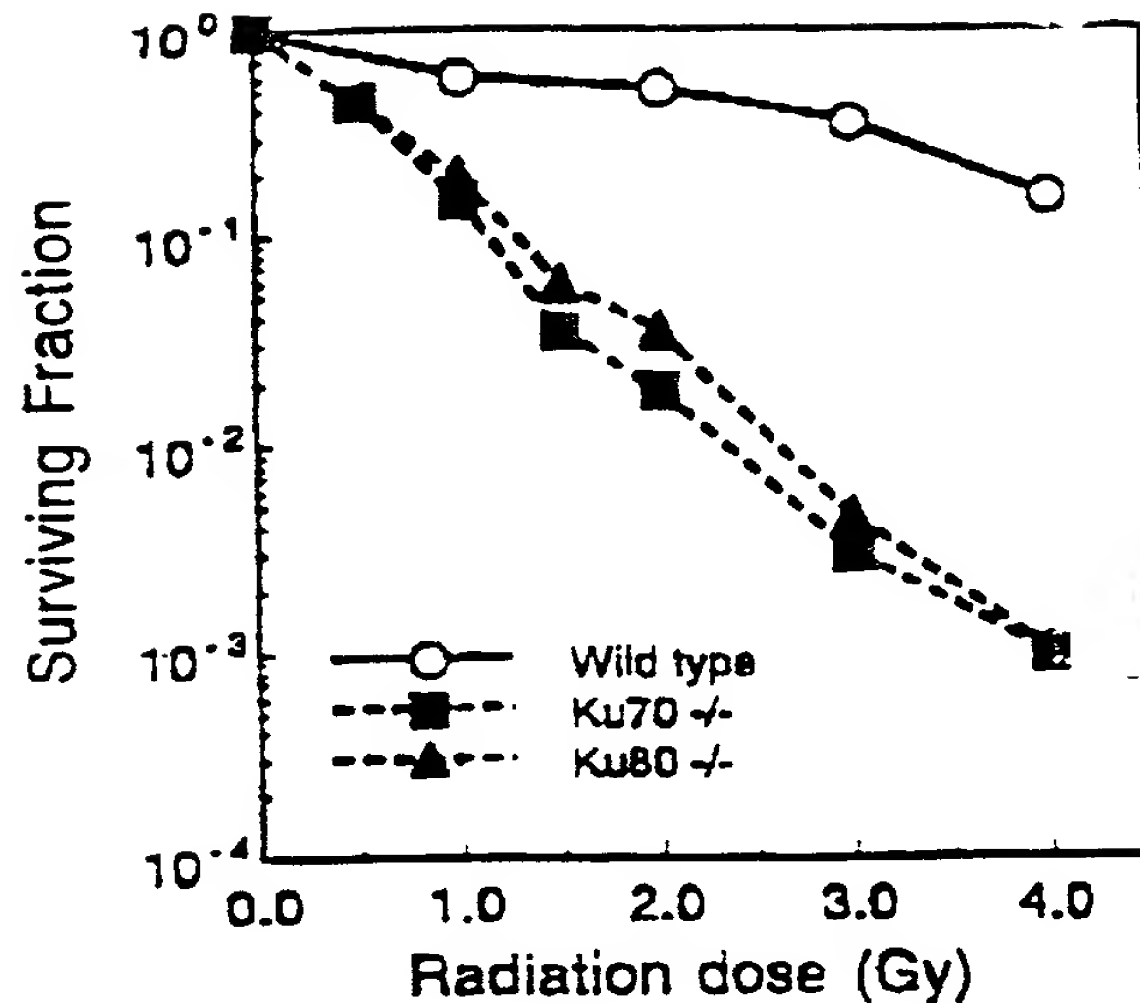


FIG. 12B

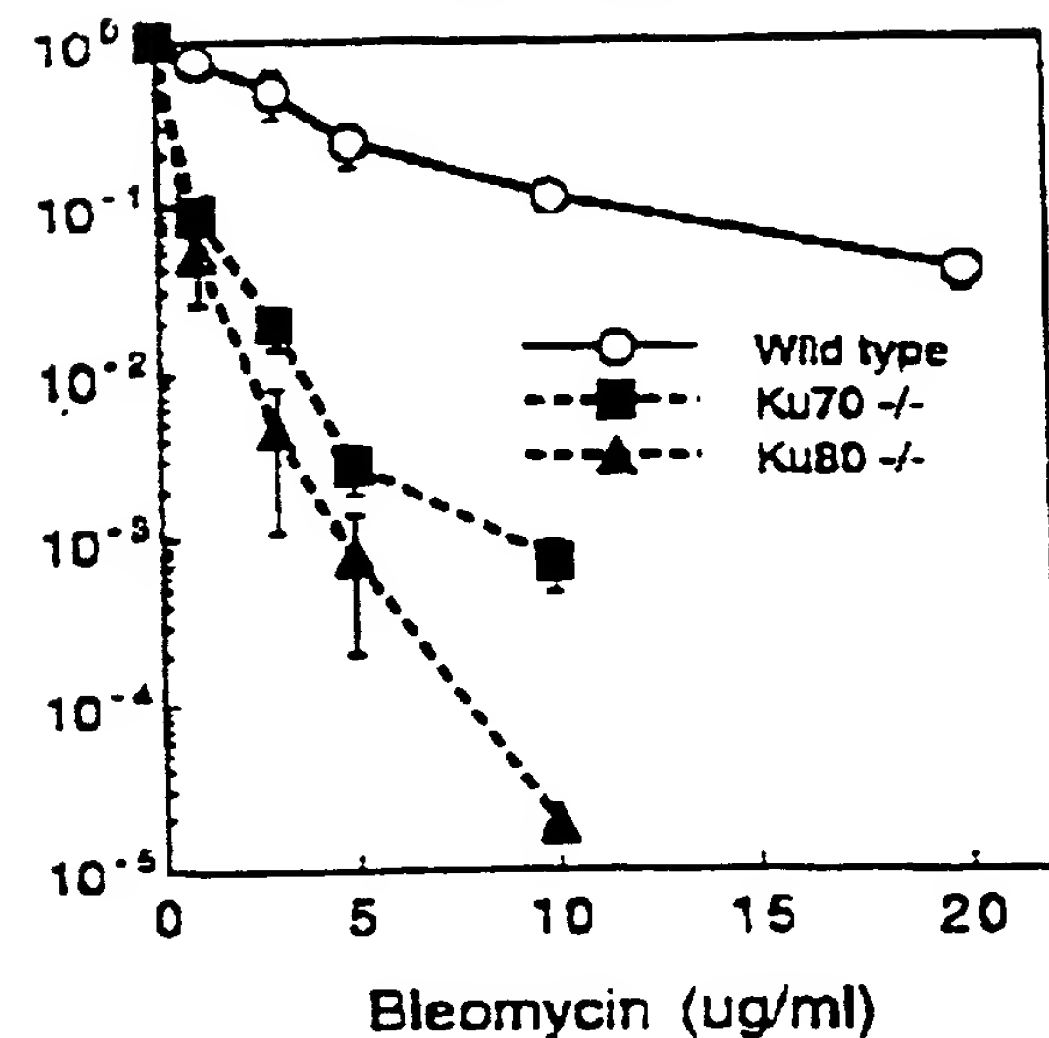


FIG. 12C

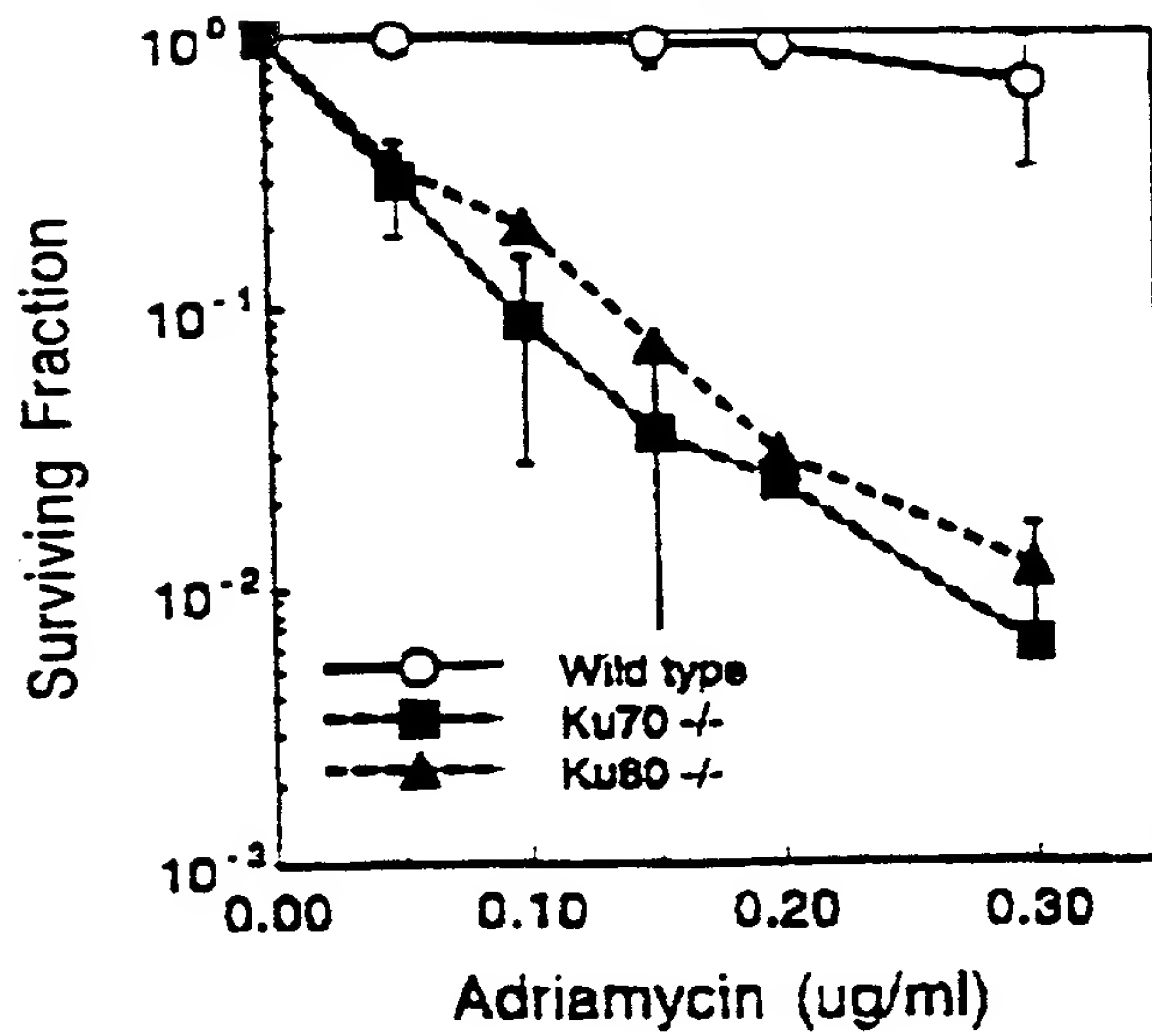


FIG. 12D

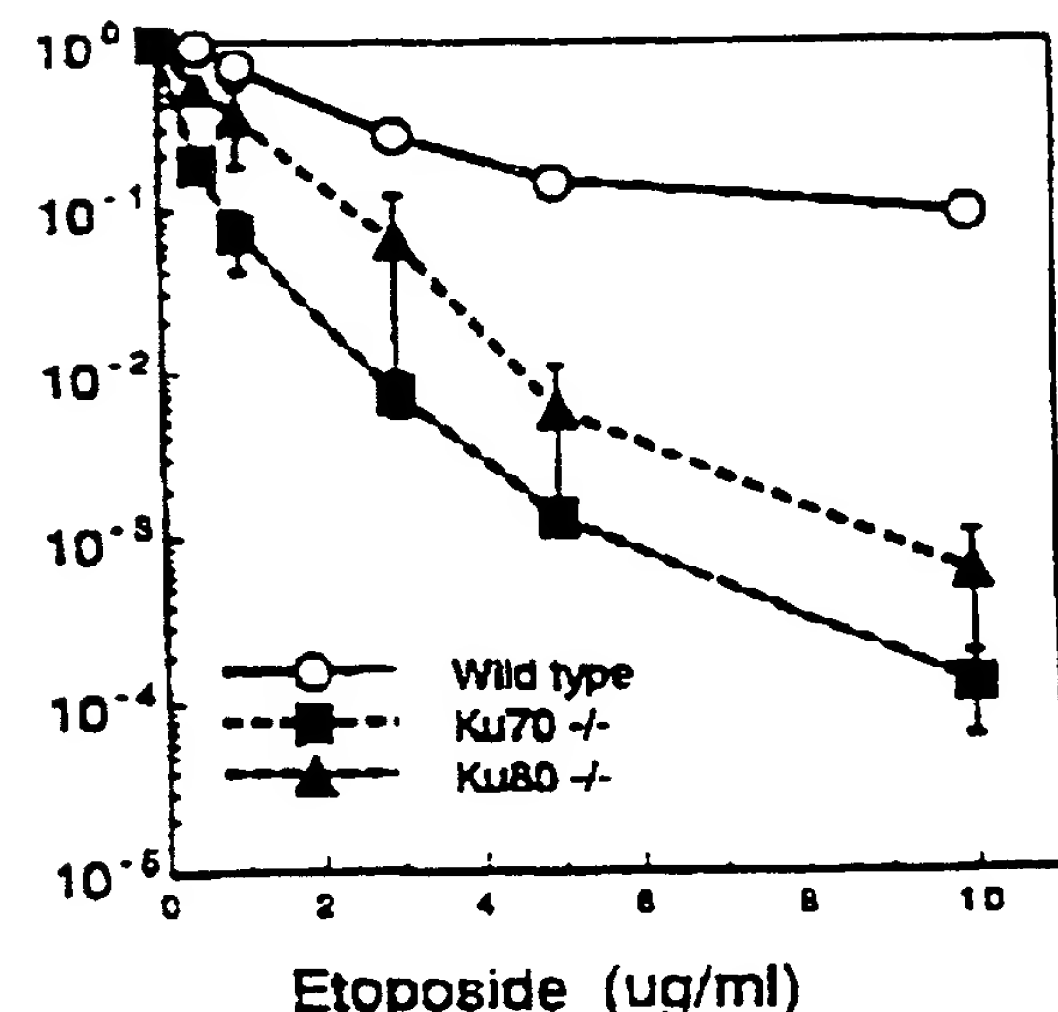


FIG. 13B

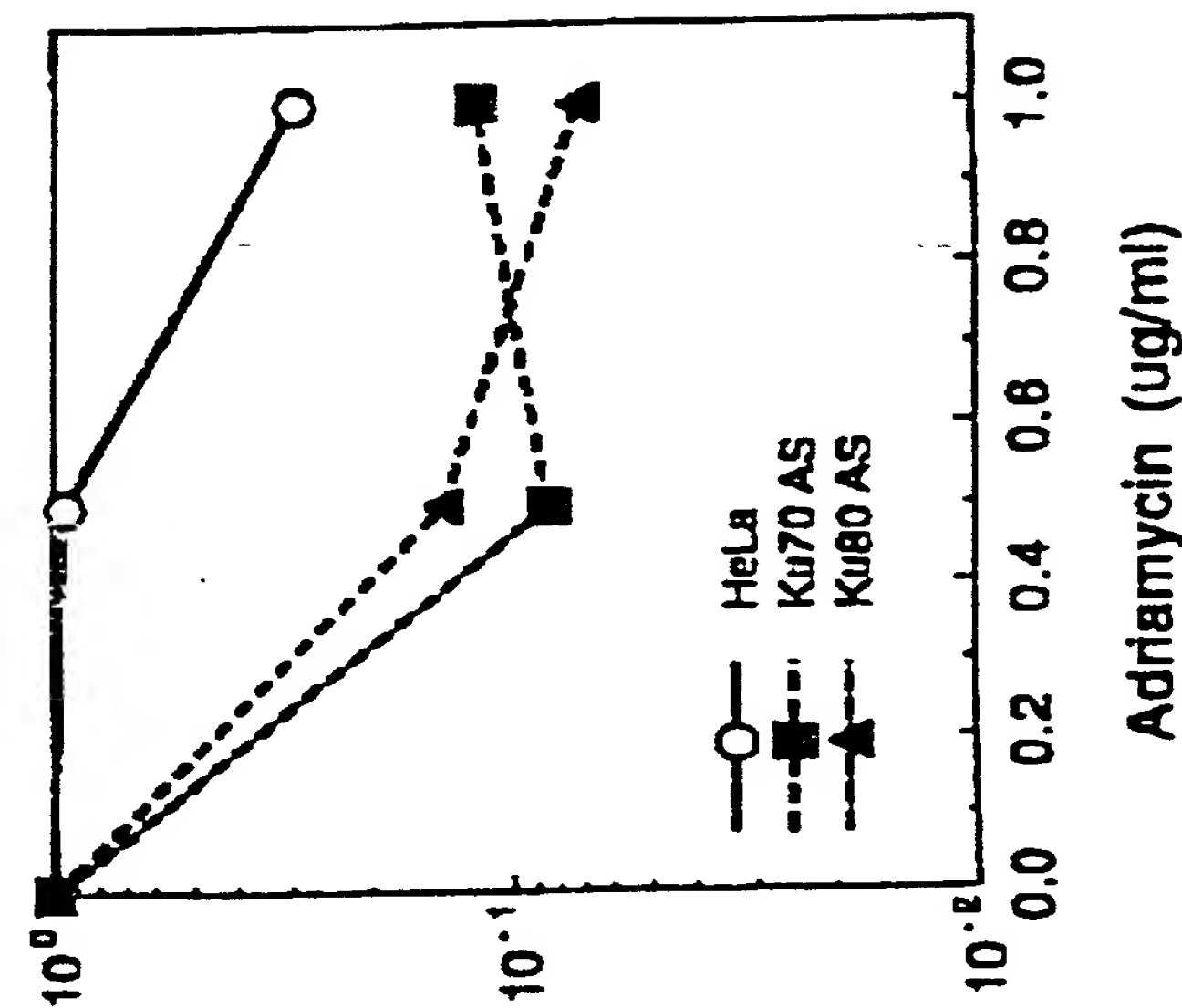


FIG. 13A

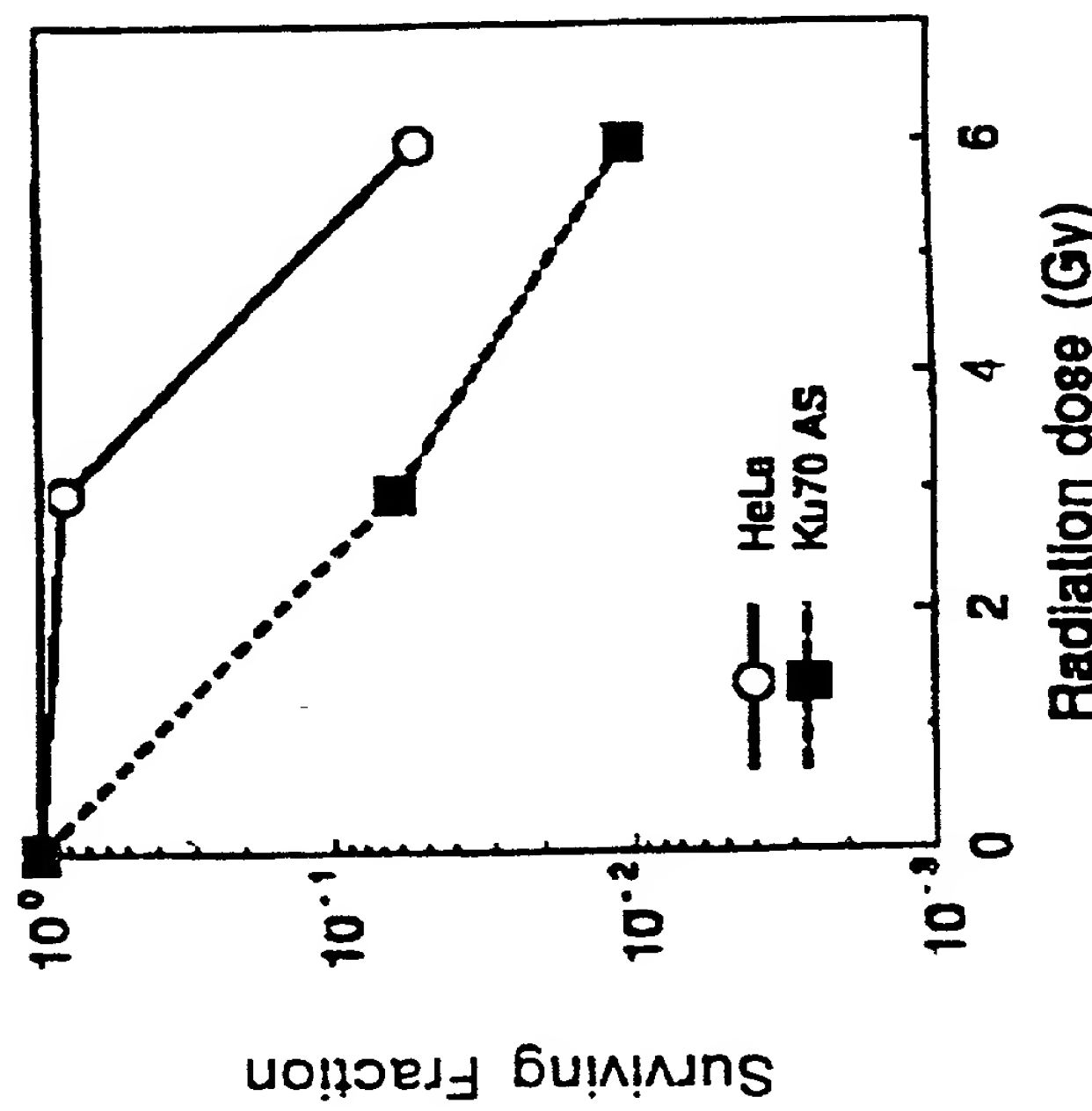


FIG. 14

<u>V_β 8.1</u>	P	N	D _β 2.1	N	P	J _β 2.6
<u>AGCTGTATATTCTGTGCCACGAGTG</u>			<u>GGACTGGGGCC</u>			<u>CTCCTATGAAACAGTACTTCGGTCCCCGACCA</u>
AGCTGTATATTCTGTGCCACG			GGAC			TGAAACAGTACTTCGGTCCCCGGACCA (2)
AGCTGTATATTCTGTGCCAGC			GG			CTCCCTATGAAACAGTACTTCGGTCCCCGGACCA
AGCTGTATATTCTGTGCCAGC			CGACA			CTATGAAACAGTACTTCGGTCCCCGGACCA
AGCTGTATATTCTGTGCCAGCAGTG			CTG			GAACAGTACTTCGGTCCCCGGACCA
			GGGA			
<u>V_β 8.2</u>						
<u>ATCAGTGTACTTCTGTGCCAGGGTGATG</u>						
ATCAGTGTACTTCTGTGCCAGGGTG				GGGGGG	TT	TGAAACAGTACTTCGGTCCCCGGACCA
ATCAGTGTACTTCTGTGCCAGGGC				C		GAAACAGTACTTCGGTCCCCGGACCA
ATCAGTGTACTTCTGTGCCAGGTA				CCC		GTACTTTCGGTACGGGCTCCA
ATCAGTGTACTTCTGTGCCAGC				GG		CTCCTATGAAACAGTACTTCGGTCCCCGGACCA
ATCAGTGTATTTCTGTGCCAGC				GG		TGAAACAGTACTTCGGTCCCCGGACCA
ATCAGTGTACTTCTGTGCCAGGCTGA				CA		CTCCTATGAAACAGTACTTCGGTCCCCGGACCA
<u>V_β 8.3</u>						
<u>ATCTTGTACTTCTGTGCCAGGAGTGATG</u>						
ATCTTGTACTTCTGTGCCAGGAGTG				GGGG		CCTATGAAACAGTACTTCGGTCCCCGGACCA
ATCTTGTACTTCTGTGCCAGGAGGC				TG		TACTTTCGGTCCCCGGACCA
ATCTTGTACTTCTGTGCCAGGAGTGAT						CCTATGAAACAGTACTTCGGTCCCCGGACCA
ATCTTGTACTTCTGTGCCAGGAGTGAT				TGGG		CCTATGAAACAGTACTTCGGTCCCCGGACCA

FIG. 15A

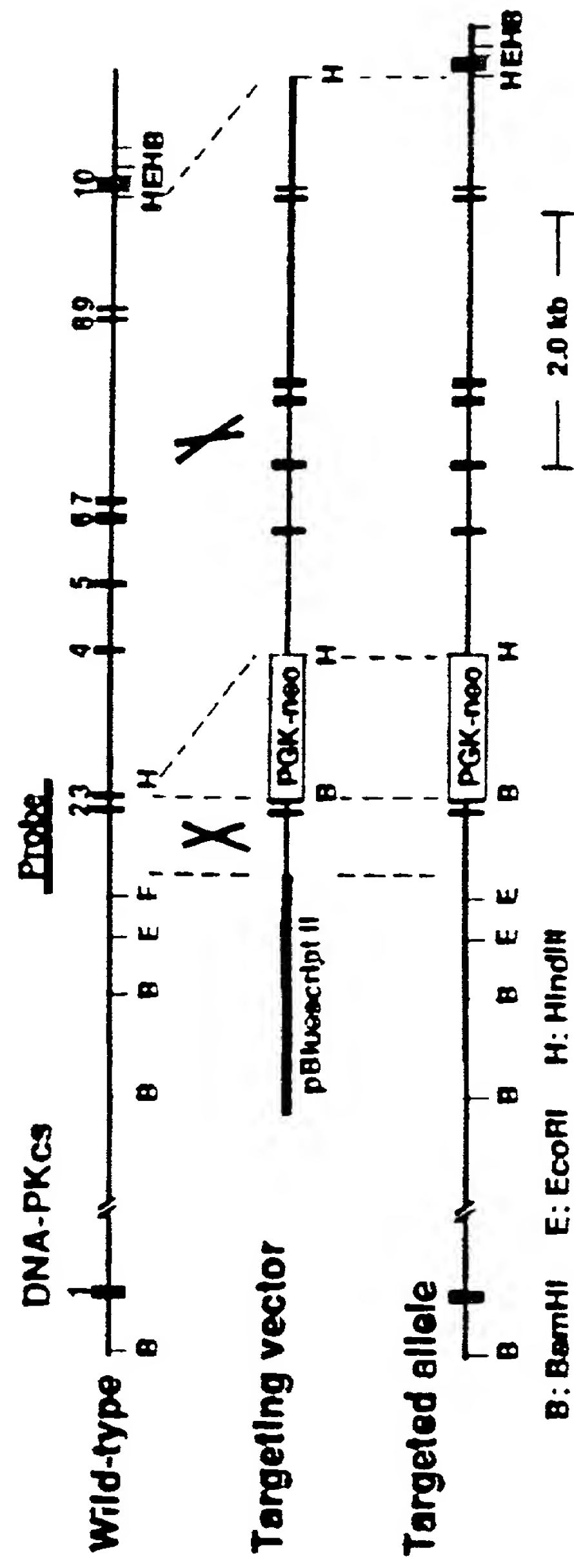


FIG. 15B

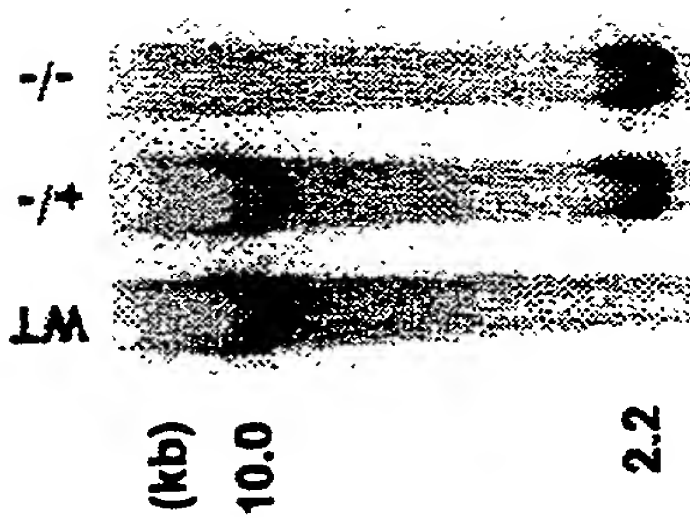


FIG. 15C

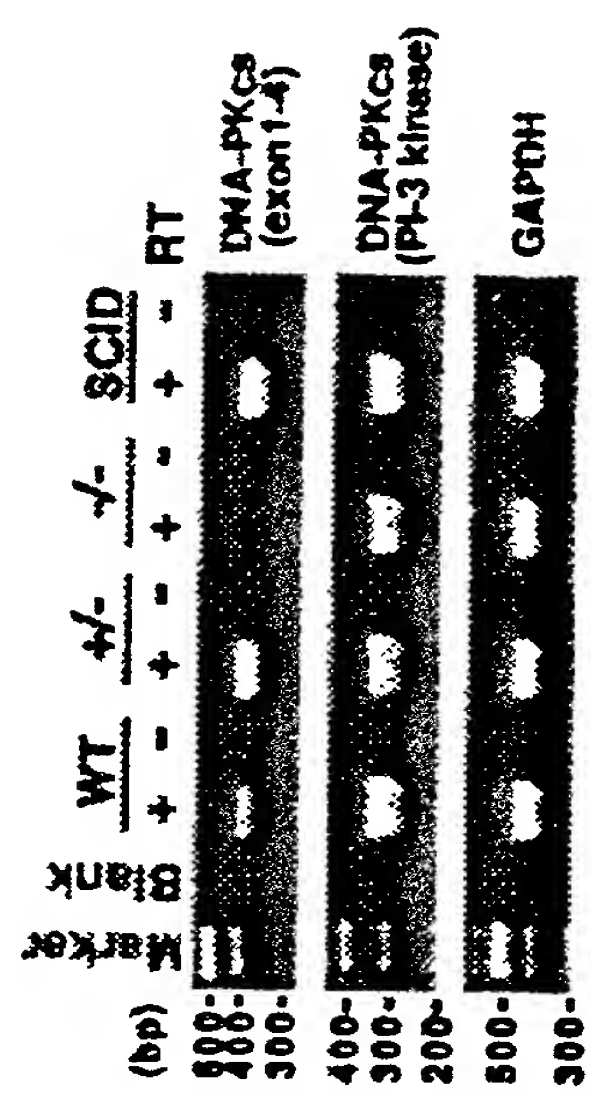


FIG. 15D

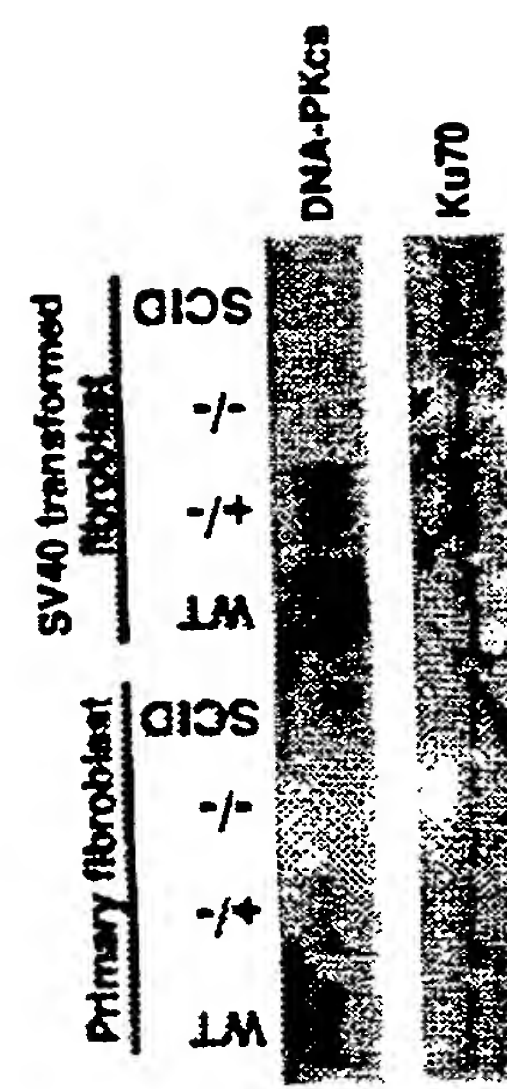
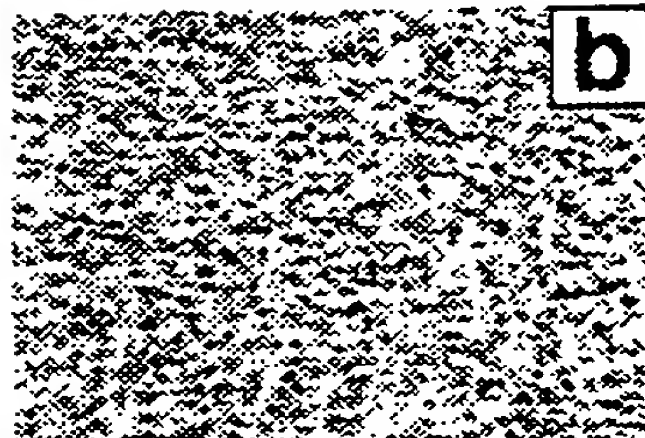


FIG. 16A-1
Wild Type



FIG. 16A-2
PKcs-/-



Spl

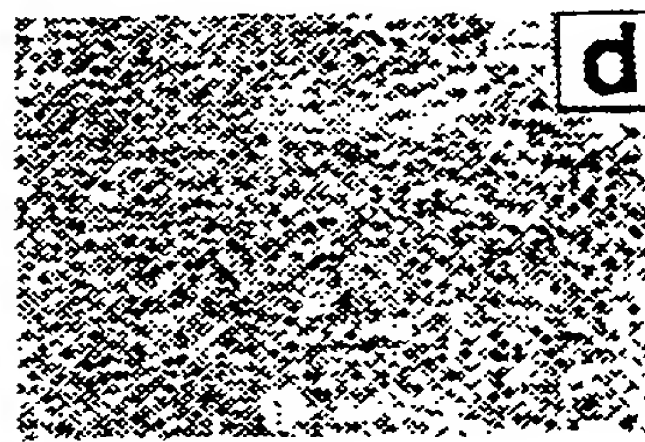


FIG. 16A-3

LN

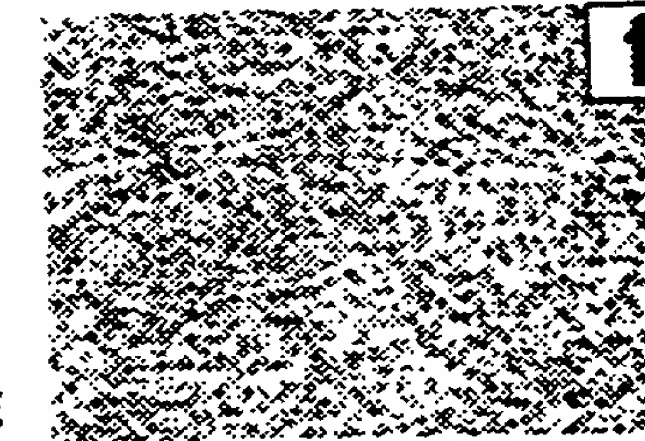
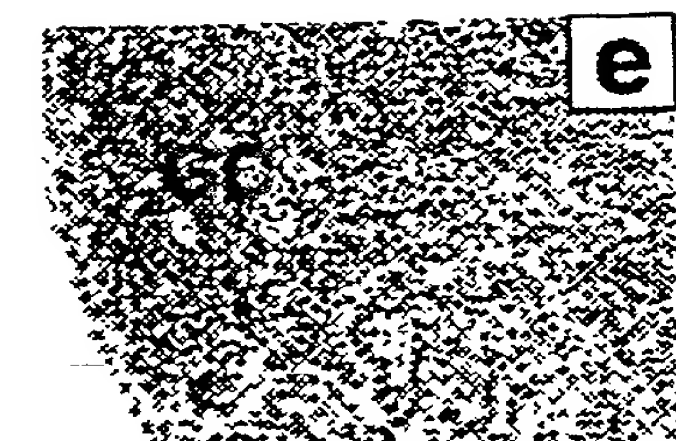
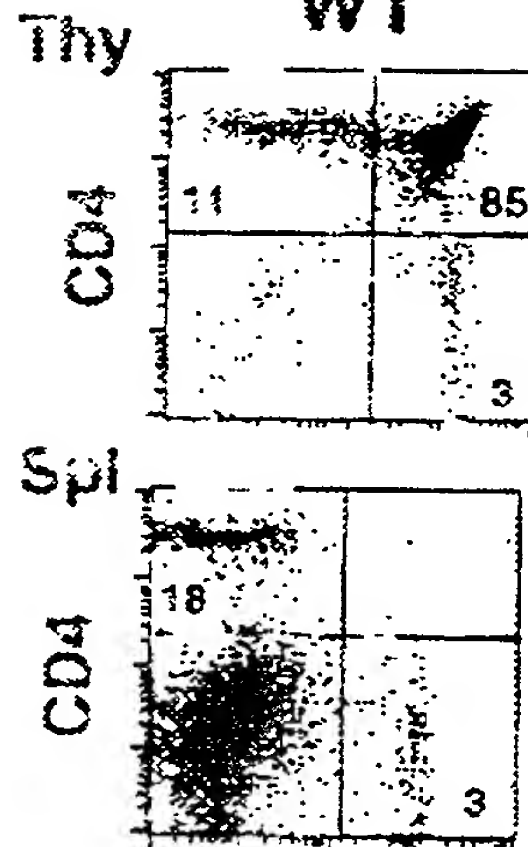
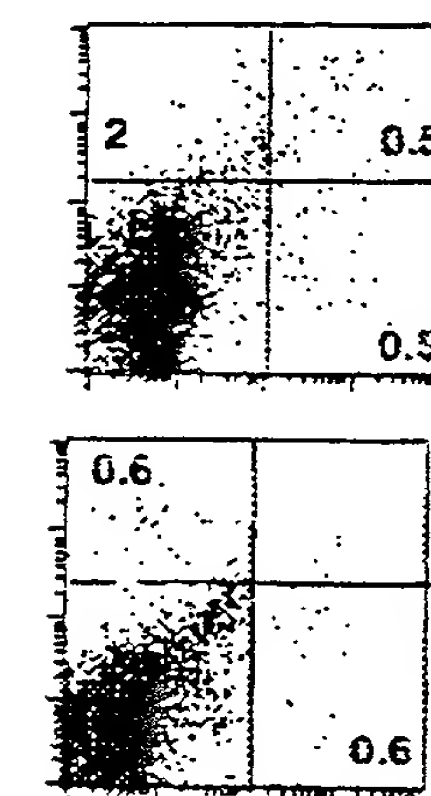
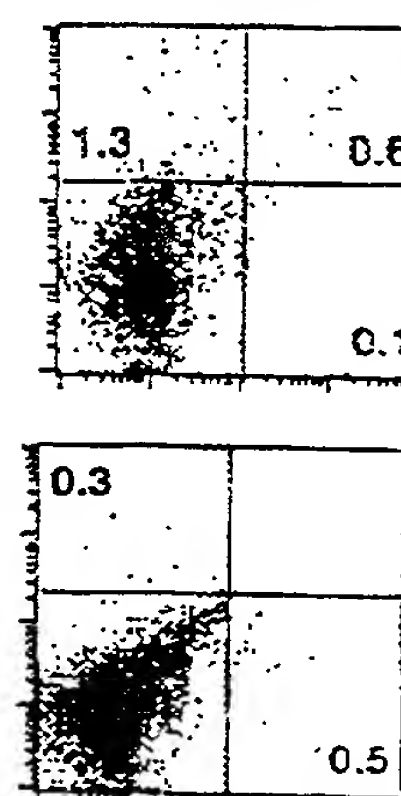


FIG. 16A-5

FIG. 16A-4

FIG. 16A-6

FIG. 16B-1
WTFIG. 16B-2
PKcs-/-FIG. 16B-3
SCID

CD8

FIG. 16B-4

BM FIG. 16B-7

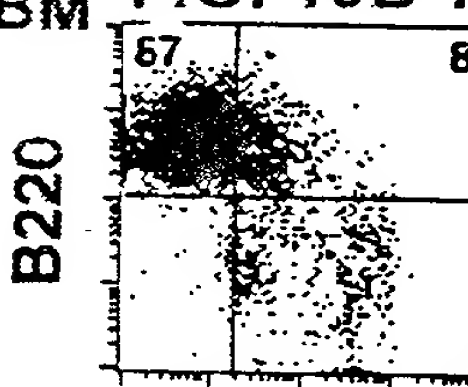
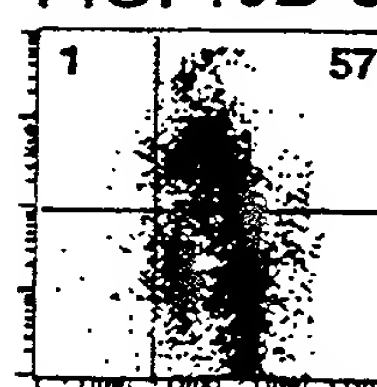
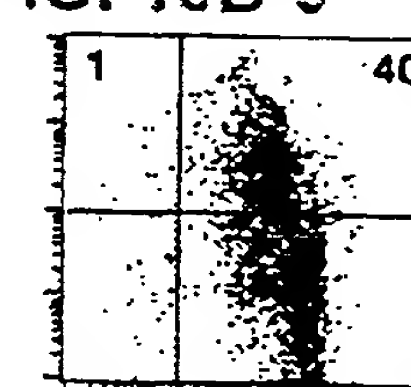


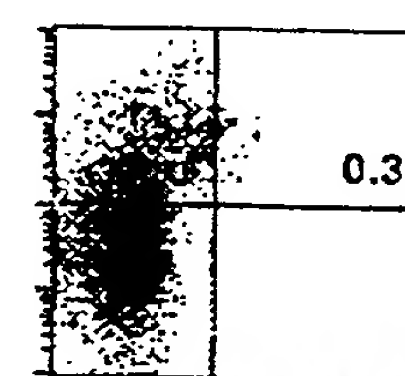
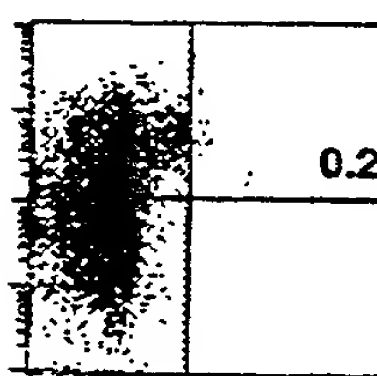
FIG. 16B-8 FIG. 16B-9



CD43



Spl



IgM

FIG. 16B-10

FIG. 16B-11

FIG. 16B-12

FIG. 16C-1

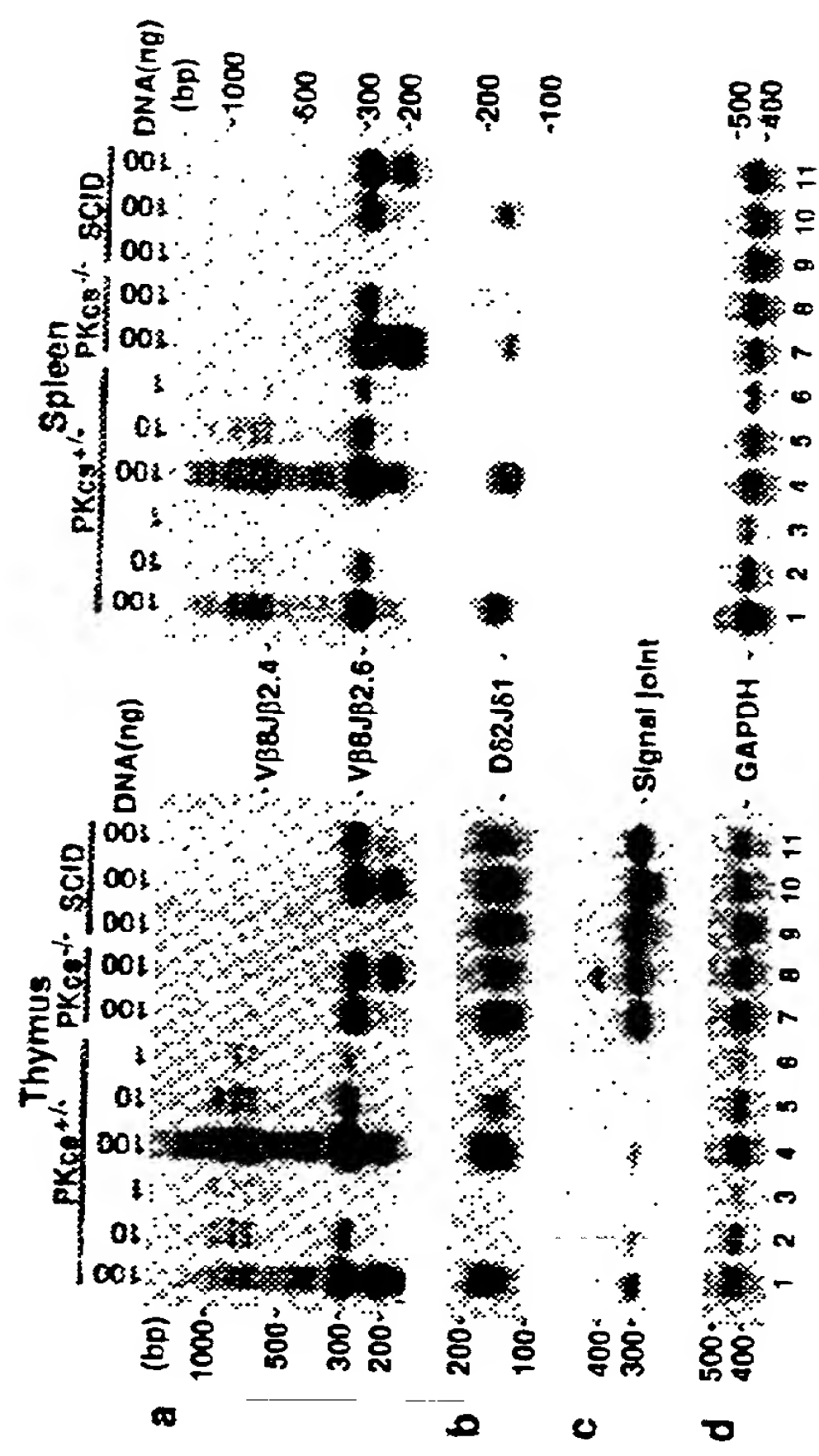


FIG. 16C-2

FIG. 16C-4

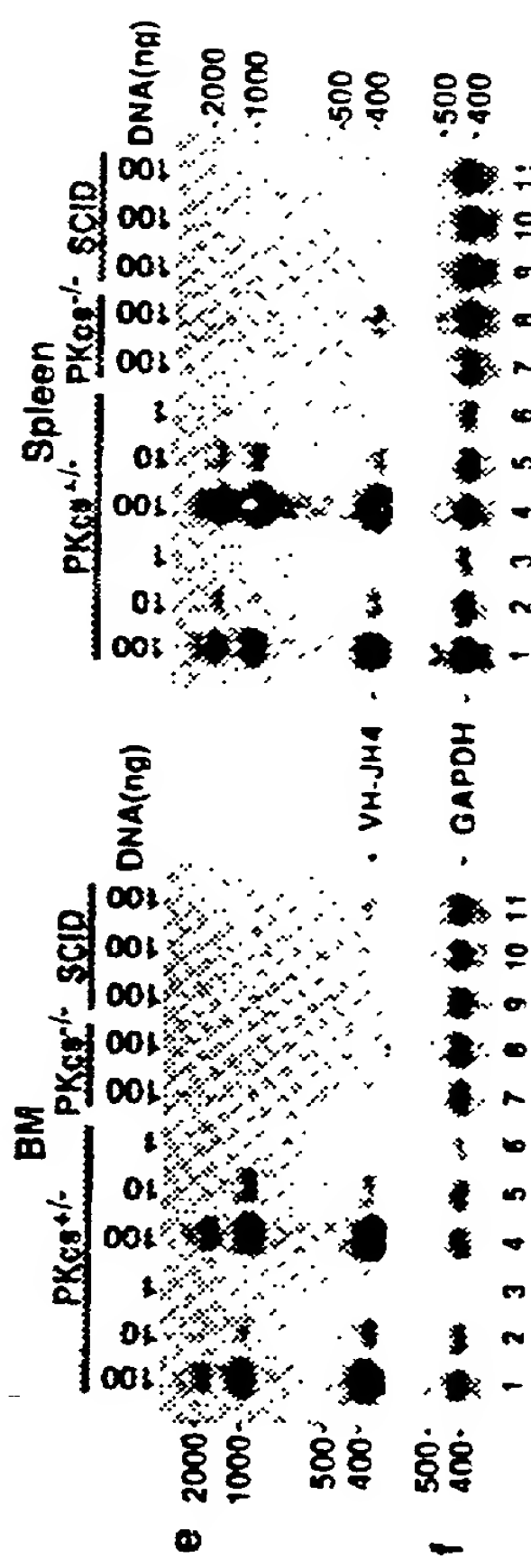


FIG. 16C-3

FIG. 17

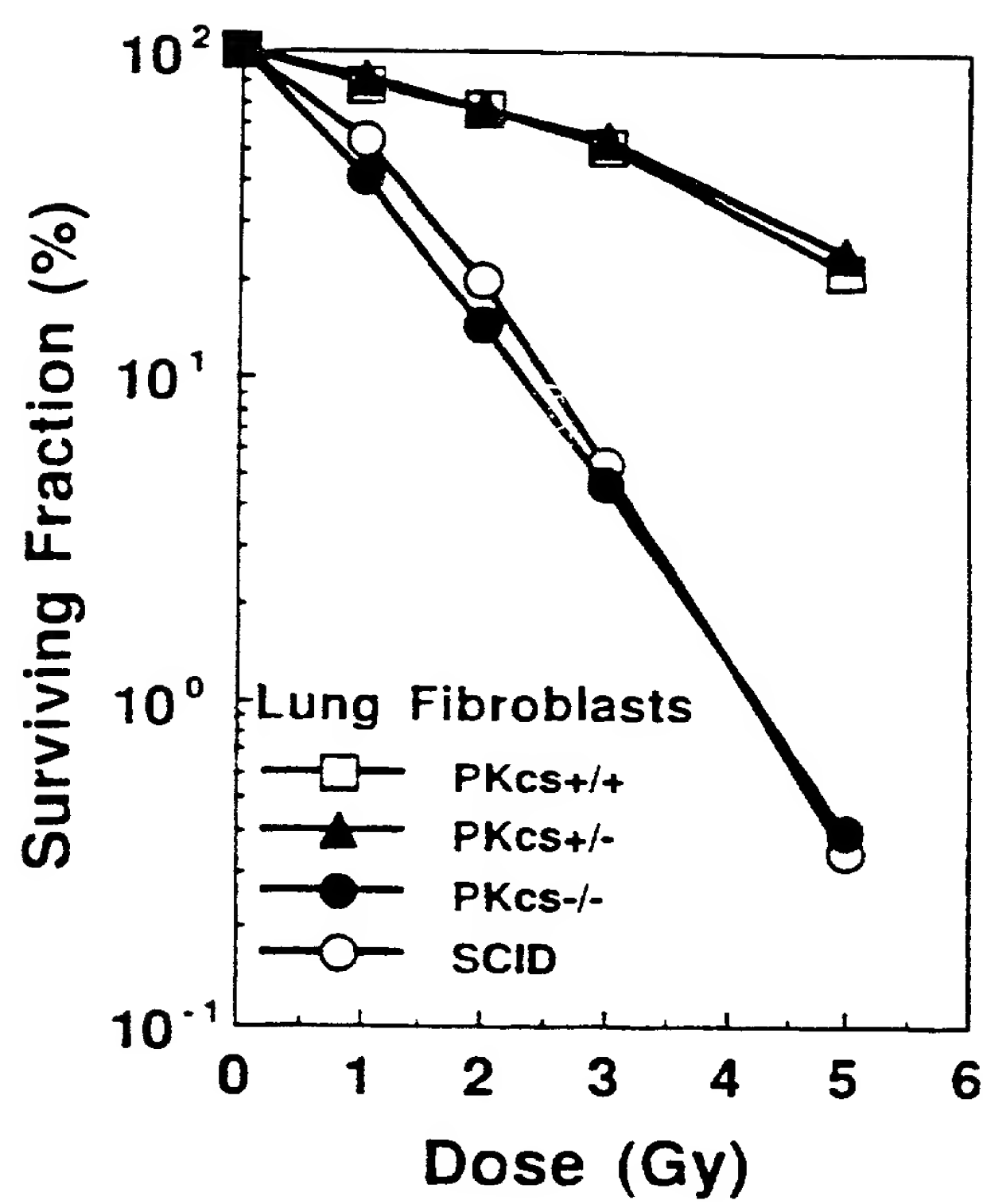


FIG. 18A



FIG. 18B



FIG. 18C



FIG. 18D

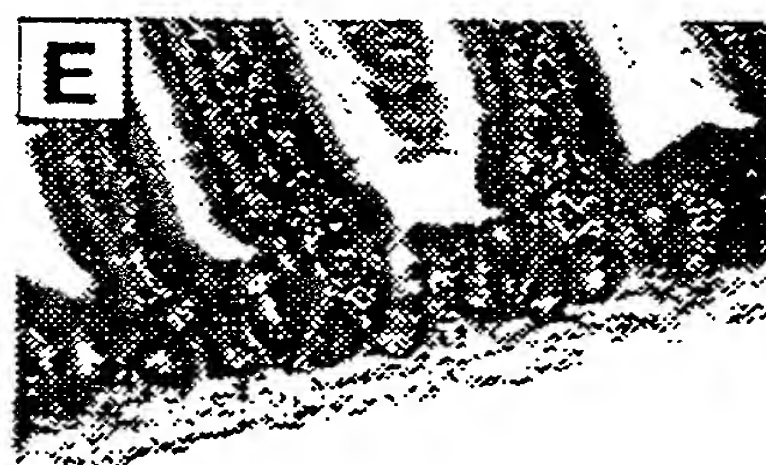


FIG. 18E